

17

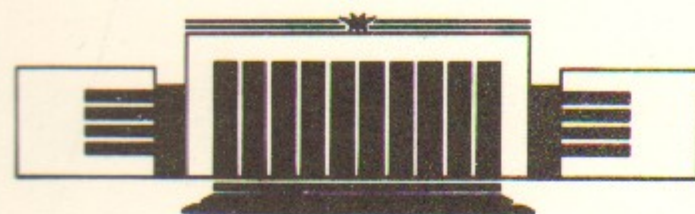


ИНСТИТУТ ЯДЕРНОЙ ФИЗИКИ  
им. Г.И. Будкера СО РАН

К.В. Лотов, Д.Д. Рютов

ПЛАЗМЕННЫЕ НЕУСТОЙЧИВОСТИ В СХЕМЕ  
КИЛЬВАТЕРНОГО УСКОРЕНИЯ

ИЯФ 94-32



НОВОСИБИРСК

помимо концепции туннельной  
катодной эмиссии [1]. В то же время  
важно отметить, что в плазме, возникшей в результате  
воздействия лазерного излучения на поверхность  
металлического материала (железа, никеля и т. д.) или  
стекла, происходит излучение с энергией от 6 [16] до 10 [17] эВ. Ученые  
изучают различные способы уменьшения интенсивности излучения, включая  
использование различных материалов с различной поглощаемостью при излучении  
[18], [19]. Важно, что короткий импульс, дающий излучение  
из-под гравитации может состоять из серии высокочастотных импульсов (лазеров),  
которые последовательно накапливают энергию в единицу времени.

## 1 Введение

Относительно недавно был предложен новый метод ускорения частиц до сверхвысоких энергий, идея которого состоит в том, что частица ускоряется не полем внешних проводников, а полем, возникающим в плазме. При этом напряжённость ускоряющего поля может достигать огромных значений (более  $10^7$  В/см для плазмы с плотностью  $10^{16} \div 10^{18}$  см $^{-3}$ ), на один-два порядка превышающих характерные значения полей в традиционных ускоряющих системах ([1], [2]).

В настоящее время наиболее интенсивно исследуются три возможных способа создания в плазме столь сильного электрического поля (см. обзор [3] и литературу, указанную в нём). Первый из них основан на возбуждении плазменных колебаний с помощью двух лазерных лучей, частоты которых различаются на плазменную частоту. Другие два (известные как методы кильватерного ускорения) предполагают использовать для ускорения частиц поля, остающиеся в плазме после прохождения сквозь неё либо короткого лазерного импульса, либо одного или нескольких сгустков заряженных частиц (ведущих сгустков). В данной работе будет рассматриваться только возбуждение полей сгустками частиц.

Важным параметром, характеризующим эффективность кильватерного ускорения, является коэффициент передачи  $R$ , определяемый как отношение максимального ускоряющего электрического поля позади ведущего сгустка к максимальному замедляющему полю, действующему

на этот сгусток (см. [4], [5]). Чем больше  $R$ , тем до более высокой энергии может быть ускорена пробная частица при заданном числе циклов ускорения с данной энергией ведущих сгустков.

В случае ведущего сгустка, симметричного в продольном направлении (т.е. в направлении движения), коэффициент передачи не может быть больше 2 ([6], см. также [4]). В то же время для практического применения кильватерного ускорения желательно иметь как минимум  $R$  порядка 10. Получить такие значения коэффициента передачи оказывается возможным при использовании сгустка с асимметричным распределением плотности заряда, например, "треугольного" сгустка ([4], [2], [7]), плотность которого сначала плавно нарастает, потом резко падает до нуля (рис.1a). Коэффициент передачи для такого сгустка пропорционален его длине  $L$ :

$$R = L\omega_p/c \quad (1)$$

(здесь  $\omega_p$  — плазменная частота,  $c$  — скорость света). Следовательно, увеличивая длину переднего фронта, можно достичь требуемых значений  $R$ .

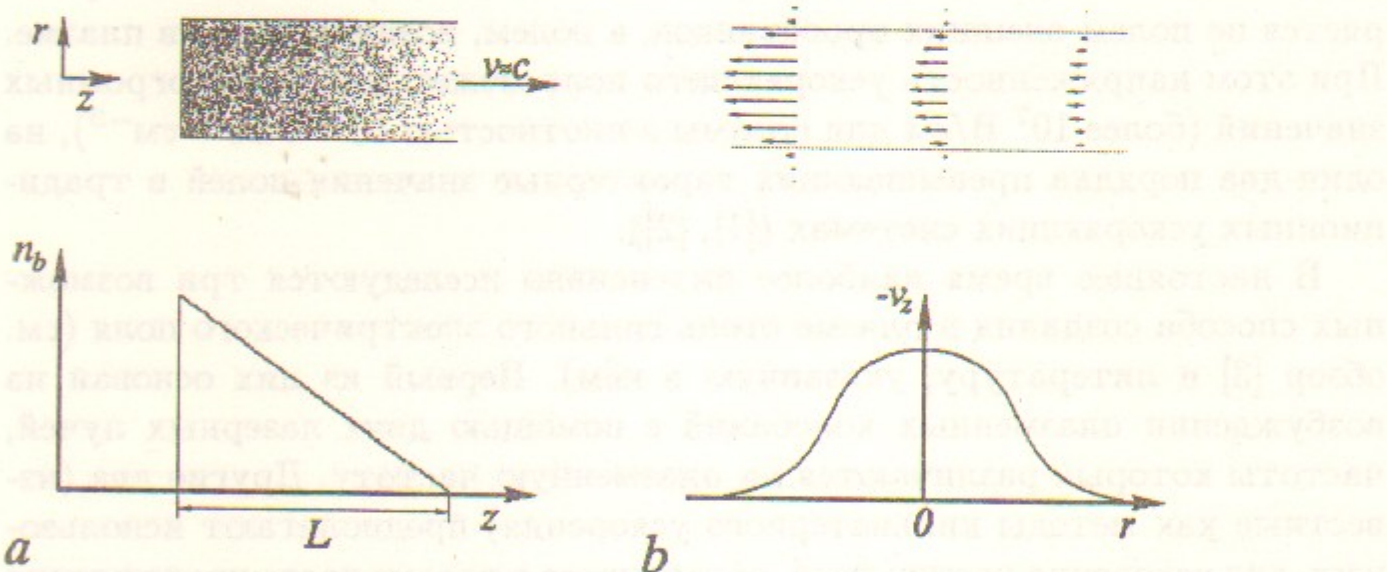


Рис. 1: Схема кильватерного ускорения с инжекцией "треугольного" сгустка (а); соответствующее движение электронов плазмы (б).

Резонансная раскачка плазменных колебаний последовательностью коротких сгустков (рис.2) также позволяет сообщить ускоряемой частице энергию, существенно превышающую энергию ускоряющих частиц ([8]).

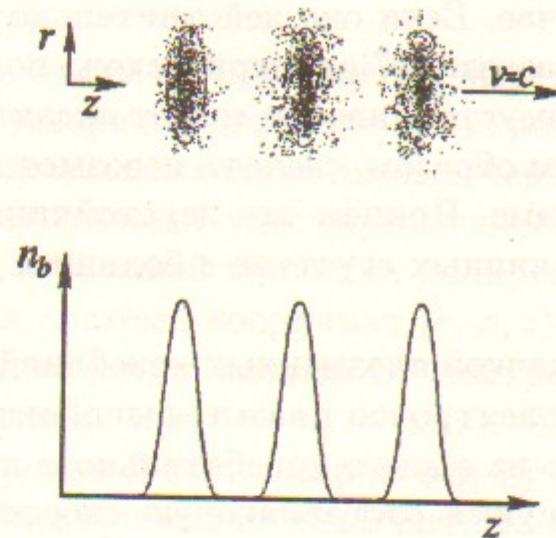


Рис. 2: Схема кильватерного ускорения с инжекцией последовательности электронных сгустков.

При оптимальном выборе расстояний между сгустками амплитуда ускоряющего электрического поля растёт пропорционально корню квадратному из числа прошедших сгустков, что соответствует линейному росту запасённой в плазме энергии (см. [6]).

Таким образом, длинные сгустки или длинные последовательности коротких сгустков могут оказаться более выгодными с точки зрения эффективности кильватерного ускорения.

Ведущие сгустки, наряду с плазменными колебаниями, вызывают в плазме неоднородное поступательное движение электронов, которое может быть неустойчивым. Рассмотрим, для примера, схему с инжекцией "треугольного" сгустка. При прохождении пологого переднего фронта электроны плазмы вследствие зарядовой компенсации (см., например, [9]) постепенно выталкиваются<sup>1</sup> из области сгустка, и это — эффект полезный, так как ускоряющее поле появляется именно благодаря недостатку электронов позади сгустка.

Паряду с зарядовой компенсацией имеется также компенсация токовая, приводящая к движению электронов плазмы навстречу сгустку со скоростью, зависящей от радиуса (рис.1b). Из гидродинамической теории известно (см., например, [10] – [12]), что движение обыкновенной жидкости с неоднородным профилем скорости может быть неустойчивым. Естественно предположить, что подобная неустойчивость, обусловленная проскальзыванием одного слоя электронов относительно другого, может

<sup>1</sup>Здесь и далее ведущие сгустки предполагаются электронными.

иметь место и в нашем случае. Если она действительно существует, то приведёт к появлению “паразитного” электрического поля, которое при условии сильного развития неустойчивости может оказаться сравнимым с полем “полезным” и, таким образом, сделать невозможным кильватерное ускорение по данной схеме. Причём эта неустойчивость будет наиболее опасной именно для длинных сгустков с большим коэффициентом передачи.

В схеме ускорения с раскачкой плазменных колебаний последовательностью сгустков движение электронов плазмы выглядит намного сложнее. Однако и в этом случае из общего колебательного движения можно выделить медленно меняющуюся составляющую скорости, которая будет зависеть от радиуса<sup>2</sup>. Следовательно, и в этой схеме кильватерного ускорения имеется повод для неустойчивости.

То, что неоднородное движение электронов, в принципе, может быть неустойчивым, известно давно (см., например, [14], где рассматривается неустойчивость движения электронов с тангенциальным разрывом скорости). Однако ряд специфических для кильватерного ускорения особенностей, таких как аксиальная симметрия задачи, гладкость профиля скорости и необходимость учёта непотенциальности возмущений, существенно осложняют задачу об устойчивости. Выяснению того, будет ли возникающее при кильватерном ускорении неоднородное движение электронов приводить к неустойчивости, и посвящена эта работа.

Статья построена следующим образом. В разделе 2 описывается упрощённая модель кильватерного ускорения, используемая для исследования возможной неустойчивости. Здесь же выписываются полные и упрощённые уравнения движения электронов плазмы. В разделе 3 инкремент неустойчивости оценивается по порядку величины. Алгоритмы построения дисперсионных кривых и нахождения максимального значения инкремента для конкретных профилей сгустков приведены в разделах 4 и 5 для аксиально-симметричных и аксиально-несимметричных возмущений соответственно. В разделе 6 эти алгоритмы применяются к исследованию на неустойчивость некоторых характерных профилей сгустков. Наконец, раздел 7 посвящён обсуждению возможных ограничений, накладываемых этой неустойчивостью на схемы кильватерного ускорения.

<sup>2</sup>Причиной такого “усреднённого” движения, кроме упомянутой выше токовой компенсации, может быть также увлечение электронов плазмы переменным полем сгустков (см. [13])

## 2 Уравнения движения плазмы

Для выяснения, будет ли приводить к неустойчивости характерное для кильватерного ускорения движение электронов, рассмотрим следующую модель. Пусть имеется холодная плазма, через которую распространяется аксиально-симметричный ультрапараллельный электронный пучок с плотностью  $n_b$ , зависящей только от радиуса (здесь и далее используется цилиндрическая система координат  $(r, \varphi, z)$ , см. рис.1а). Плотность ионов плазмы  $n_i$  постоянна, плотность электронов  $n$  также зависит только от радиуса, причём  $n(r) = n_i - n_b(r)$ . Скорость ионов равна нулю, скорость электронов  $\vec{v}$  коллинеарна оси пучка,  $\vec{v} = (0, 0, v_z(r))$ , причём  $v_z = -c n_b / n$ . Электрические и магнитные поля в такой системе отсутствуют (поля пучка компенсируются полями плазмы). Такая полностью скомпенсированная модель соответствует инжекции в плотную плазму ( $n_i \gg n_b$ ) “треугольного” сгустка с очень пологим передним фронтом и позволяет исследовать неустойчивость неоднородного движения электронов “в чистом виде”, не осложняя задачу учётом зависимости скорости электронов от  $z$ .

Поскольку в проводившихся ([13], [15]) и планируемых ([7], [16]) экспериментах по кильватерному ускорению плотность сгустка (или усреднённая по  $z$  плотность инжектируемых частиц в случае последовательности сгустков) выбиралась порядка  $(2 \cdot 10^{-4} \div 3 \cdot 10^{-2}) n_i$ , то возмущение плотности плазмы будем считать малым:

$$n_i - n \ll n_i, \quad (2)$$

а движение электронов — нерелятивистским:

$$\frac{|v_z|}{c} \sim \frac{n_b}{n_i} \ll 1. \quad (3)$$

Что касается радиуса инжектируемого в плазму пучка (или инжектируемой последовательности сгустков), то он выбирался порядка  $c/\omega_p$  или менее, поэтому в дальнейшем будем полагать, что движение электронов локализовано в области  $r \lesssim a$ , где  $a \sim c/\omega_p$ .

Электроны плазмы обладают некоторой тепловой скоростью  $v_{Te} = \sqrt{2T_e/m}$ . Имеется два типа эффектов, связанных с конечностью  $v_{Te}$ . Первый — влияние теплового движения на проникновение полей из области пучка в окружающее пространство (см., например, [17]), связанное с переносом направленного импульса электронов поперёк оси пучка.

Условие, когда этим эффектом можно пренебречь, очевидно, имеет вид  $a/v_{Te} \ll L/c$ , или

$$v_{Te} \ll c \frac{a}{L}. \quad (4)$$

В области параметров планируемых экспериментов это условие выполнено с большим запасом.

Второй (независимый) эффект связан с возможными резонансами между электронами плазмы и неустойчивой волной. Как будет показано ниже, характерная фазовая скорость колебаний порядка скорости направленного движения электронов. Чтобы резонансами можно было пренебречь, должно соблюдаться условие

$$v_{Te} \ll |v_z|. \quad (5)$$

Его мы также будем считать выполненным (оно может нарушаться только в экспериментах с пучком малой плотности, [13]).

На описанное невозмущённое состояние накладываются малые возмущения плотности и скорости электронов плазмы, а также связанные с ними возмущения электрического и магнитного полей. Имея в виду рассмотрение быстропротекающих процессов, будем пренебречь движением ионов и диссипацией. Также пренебрежём возмущением пучка<sup>3</sup>.

В указанных предположениях поведение плазмы может быть описано следующими уравнениями (где индексом "1" отмечены возмущения соответствующих величин):

$$\text{rot } \vec{H}_1 = -\frac{4\pi e}{c} (n\vec{v}_1 + n_1 \vec{v}) + \frac{1}{c} \frac{\partial \vec{E}_1}{\partial t}, \quad (6)$$

$$\text{rot } \vec{E}_1 = -\frac{1}{c} \frac{\partial \vec{H}_1}{\partial t}, \quad (7)$$

$$\frac{\partial n_1}{\partial t} + \text{div} (n\vec{v}_1 + n_1 \vec{v}) = 0, \quad (8)$$

$$\frac{\partial(\gamma\vec{v})_1}{\partial t} + (\vec{v}\nabla)(\gamma\vec{v})_1 + (\vec{v}_1\nabla)(\gamma\vec{v}) = -\frac{e}{m}\vec{E}_1 - \frac{e}{mc} [\vec{v} \times \vec{H}_1]. \quad (9)$$

Здесь  $e$  — элементарный заряд ( $e > 0$ ), и использованы обозначения

$$(\gamma\vec{v})_1 = \frac{\vec{v} + \vec{v}_1}{\sqrt{1 - (\vec{v} + \vec{v}_1)^2/c^2}} - \gamma\vec{v} = \gamma\vec{v}_1 + \gamma^3\vec{v}\frac{(\vec{v}\vec{v}_1)}{c^2}, \quad (10)$$

<sup>3</sup>Это оправдывается тем, что ультрарелятивистские частицы, вследствие большой инерционной массы, не успевают заметно отреагировать на плазменные поля за время пролёта через интересующую нас область пространства.

$$\gamma = \frac{1}{\sqrt{1 - \vec{v}^2/c^2}}. \quad (11)$$

Ввиду малости возмущений удерживаются лишь линейные по их амплитуде члены.

Будем искать возмущения в виде

$$A_1(r, \varphi, z, t) = \tilde{A}(r) \exp(i k z + i l \varphi - i \omega t). \quad (12)$$

Тогда система уравнений (6) – (9) в покомпонентной записи примет вид

$$\frac{i l}{r} \tilde{H}_z - i k \tilde{H}_\varphi = -\frac{4\pi e}{c} n \tilde{v}_r - \frac{\omega}{c} \tilde{E}_r, \quad (13)$$

$$i k \tilde{H}_r - \frac{\partial \tilde{H}_z}{\partial r} = -\frac{4\pi e}{c} n \tilde{v}_\varphi - \frac{\omega}{c} \tilde{E}_\varphi, \quad (14)$$

$$\frac{1}{r} \frac{\partial}{\partial r} r \tilde{H}_\varphi - \frac{i l}{r} \tilde{H}_r = -\frac{4\pi e}{c} n \tilde{v}_z - \frac{4\pi e}{c} \tilde{n} v_z - \frac{\omega}{c} \tilde{E}_z, \quad (15)$$

$$\frac{i l}{r} \tilde{E}_z - i k \tilde{E}_\varphi = \frac{\omega}{c} \tilde{H}_r, \quad (16)$$

$$i k \tilde{E}_r - \frac{\partial \tilde{E}_z}{\partial r} = \frac{\omega}{c} \tilde{H}_\varphi, \quad (17)$$

$$\frac{1}{r} \frac{\partial}{\partial r} r \tilde{E}_\varphi - \frac{i l}{r} \tilde{E}_r = \frac{\omega}{c} \tilde{H}_z, \quad (18)$$

$$-\omega \tilde{n} + \frac{1}{r} \frac{\partial}{\partial r} r n \tilde{v}_r + \frac{i l}{r} n \tilde{v}_\varphi + i k n \tilde{v}_z + i k v_z \tilde{n} = 0, \quad (19)$$

$$-i(\omega - k v_z) \gamma \tilde{v}_r = -\frac{e}{m} \tilde{E}_r + \frac{e}{mc} v_z \tilde{H}_\varphi, \quad (20)$$

$$-i(\omega - k v_z) \gamma \tilde{v}_\varphi = -\frac{e}{m} \tilde{E}_\varphi - \frac{e}{mc} v_z \tilde{H}_r, \quad (21)$$

$$-i(\omega - k v_z) \gamma^3 \tilde{v}_z + \gamma^3 \frac{\partial v_z}{\partial r} \tilde{v}_r = -\frac{e}{m} \tilde{E}_z. \quad (22)$$

Система (13) – (22) сложна для анализа в общем виде, однако она существенно упрощается, если положить (учитывая (2), (3))

$$\gamma \equiv 1, \quad n \equiv n_i, \quad \omega \ll \omega_p. \quad (23)$$

Будем называть решение системы (13) – (22) в предположениях (23) квазипотенциальным приближением, так как последнее в (23) условие позволяет пренебречь током смещения в уравнениях Максвелла.

В квазипотенциальном приближении вместо (13) – (22) имеем

$$\tilde{n} = 0, \quad (24)$$

$$\frac{il}{r}\tilde{H}_z - ik\tilde{H}_\varphi = -\frac{4\pi e}{c}n\tilde{v}_r, \quad (25)$$

$$ik\tilde{H}_r - \frac{\partial\tilde{H}_z}{\partial r} = -\frac{4\pi e}{c}n\tilde{v}_\varphi, \quad (26)$$

$$\frac{1}{r}\frac{\partial}{\partial r}r\tilde{H}_\varphi - \frac{il}{r}\tilde{H}_r = -\frac{4\pi e}{c}n\tilde{v}_z, \quad (27)$$

$$\frac{il}{r}\tilde{E}_z - ik\tilde{E}_\varphi = \frac{\omega}{c}\tilde{H}_r, \quad (28)$$

$$ik\tilde{E}_r - \frac{\partial\tilde{E}_z}{\partial r} = \frac{\omega}{c}\tilde{H}_\varphi, \quad (29)$$

$$\frac{1}{r}\frac{\partial}{\partial r}r\tilde{E}_\varphi - \frac{il}{r}\tilde{E}_r = \frac{\omega}{c}\tilde{H}_z, \quad (30)$$

$$\frac{i}{r}\frac{\partial}{\partial r}r\tilde{v}_r = k\tilde{v}_z + \frac{l}{r}\tilde{v}_\varphi, \quad (31)$$

$$i\Omega\tilde{v}_r = \frac{e}{m}\tilde{E}_r - \frac{ev_z}{mc}\tilde{H}_\varphi, \quad (32)$$

$$i\Omega\tilde{v}_\varphi = \frac{e}{m}\tilde{E}_\varphi + \frac{ev_z}{mc}\tilde{H}_r, \quad (33)$$

$$i\Omega\tilde{v}_z = \frac{e}{m}\tilde{E}_z + \frac{\partial v_z}{\partial r}\tilde{v}_r, \quad (34)$$

где использовано обозначение

$$\Omega = \omega - kv_z. \quad (35)$$

Ещё более простые уравнения получаются, если в (13) – (22) положить скорость света бесконечно большой (что соответствует так называемому потенциальному приближению). Такое упрощение справедливо, если выполнены условия

$$c \gg |v_z|, \quad c \gg \frac{\omega_p}{k}, \quad c \gg \frac{\omega}{k}. \quad (36)$$

Опуская в (13) – (22) слагаемые с  $c$  в знаменателе, получаем

$$\tilde{H}_\varphi = \frac{l}{kr}\tilde{H}_z, \quad \tilde{H}_r = -\frac{i}{k}\frac{\partial\tilde{H}_z}{\partial r}, \quad (37)$$

$$\tilde{E}_\varphi = \frac{l}{kr}\tilde{E}_z, \quad \tilde{E}_r = -\frac{i}{k}\frac{\partial\tilde{E}_z}{\partial r}, \quad (38)$$

$$-\Omega\tilde{n} - \frac{i}{r}\frac{\partial}{\partial r}rn\tilde{v}_r + \frac{l}{r}n\tilde{v}_\varphi + kn\tilde{v}_z = 0, \quad (39)$$

$$i\Omega\tilde{v}_r = \frac{e}{m}\tilde{E}_r, \quad i\Omega\tilde{v}_\varphi = \frac{e}{m}\tilde{E}_\varphi, \quad i\Omega\tilde{v}_z = \frac{e}{m}\tilde{E}_z + \frac{\partial v_z}{\partial r}\tilde{v}_r. \quad (40)$$

При этом (15) и (18) обратились в тождества. Вместо них к системе (37) – (40) нужно добавить уравнения

$$\operatorname{div} \vec{H}_1 = 0, \quad \operatorname{div} \vec{E}_1 = -4\pi en_1, \quad (41)$$

которые в этом приближении уже не будут следствиями других уравнений Максвелла и уравнения непрерывности. В покомпонентной записи с учётом (37) и (38) они примут вид

$$\frac{1}{r}\frac{\partial}{\partial r}r\frac{\partial\tilde{H}_z}{\partial r} - \left(k^2 + \frac{l^2}{r^2}\right)\tilde{H}_z = 0, \quad (42)$$

$$\frac{1}{r}\frac{\partial}{\partial r}r\frac{\partial\tilde{E}_z}{\partial r} - \left(k^2 + \frac{l^2}{r^2}\right)\tilde{E}_z = -4\pi ie\tilde{k}\tilde{n}. \quad (43)$$

Из (37) и (42), вследствие условий затухания поля на бесконечности и его конечности в нуле, вытекает

$$\tilde{H}_r = \tilde{H}_\varphi = \tilde{H}_z = 0, \quad (44)$$

чём и оправдывается определение такого приближения как потенциального.

Выражая  $\tilde{n}$  из (39) и (43),

$$\begin{aligned} \tilde{n} &= \frac{ie}{mk\Omega} \left[ \frac{1}{r}\frac{\partial}{\partial r}r\frac{\partial\tilde{E}_z}{\partial r} - \frac{l^2 n}{\Omega r^2}\tilde{E}_z - \frac{k^2 n}{\Omega}\tilde{E}_z + \frac{kn}{\Omega^2}\frac{\partial v_z}{\partial r}\frac{\partial\tilde{E}_z}{\partial r} \right], \\ \tilde{n} &= \frac{i}{4\pi ke} \left[ \frac{1}{r}\frac{\partial}{\partial r}r\frac{\partial\tilde{E}_z}{\partial r} - \left(k^2 + \frac{l^2}{r^2}\right)\tilde{E}_z \right], \end{aligned}$$

получаем

$$\begin{aligned} \frac{1}{r}\frac{\partial}{\partial r}r\frac{\partial\tilde{E}_z}{\partial r} - \left(k^2 + \frac{l^2}{r^2}\right)\tilde{E}_z &= \\ = \frac{1}{\Omega r}\frac{\partial}{\partial r}\frac{r\omega_p^2}{\Omega}\frac{\partial\tilde{E}_z}{\partial r} - \frac{\omega_p^2}{\Omega^2} &\left(k^2 + \frac{l^2}{r^2}\right)\tilde{E}_z - \frac{\omega_p^2}{\Omega^3}\frac{\partial\Omega}{\partial r}\frac{\partial\tilde{E}_z}{\partial r}, \end{aligned}$$

откуда следует уравнение, условие разрешимости которого даёт связь между  $\omega$  и  $k$ :

$$\frac{1}{r} \frac{\partial}{\partial r} r \left( 1 - \frac{\omega_p^2}{\Omega^2} \right) \frac{\partial \tilde{E}_z}{\partial r} = \left( k^2 + \frac{l^2}{r^2} \right) \left( 1 - \frac{\omega_p^2}{\Omega^2} \right) \tilde{E}_z. \quad (45)$$

Уравнение (45) является обобщением уравнения (1.70) из [14] на случай цилиндрической геометрии задачи.

Наконец, при одновременном выполнении (23), (36) и условия

$$kv_z \ll \omega_p, \quad (46)$$

уравнения движения плазмы можно записать в виде, аналогичном гидродинамическому уравнению Рэлея (см., например, [10] или [12]). Пренебрегая в (45) единицей по сравнению с  $\omega_p^2/\Omega^2$ ,

$$\frac{1}{r} \frac{\partial}{\partial r} r \frac{\partial \tilde{E}_z}{\partial r} - \left( k^2 + \frac{l^2}{r^2} \right) \frac{\tilde{E}_z}{\Omega^2} = 0, \quad (47)$$

и вводя новую функцию  $\psi$ ,

$$\psi = \frac{1}{\Omega} \frac{\partial \tilde{E}_z}{\partial r}, \quad (48)$$

получаем

$$\frac{\partial}{\partial r} \left[ \frac{\Omega^2}{r(k^2 + l^2/r^2)} \frac{\partial}{\partial r} \frac{r\psi}{\Omega} \right] - \Omega\psi = 0,$$

откуда следует уравнение<sup>4</sup>

$$\begin{aligned} \psi'' + \frac{\psi'}{r} \left( 1 + \frac{2l}{k^2 r^2 + l^2} \right) - k^2 \psi - \frac{\psi}{r^2} \left( 1 + l^2 - \frac{2l}{k^2 r^2 + l^2} \right) = \\ = \frac{\psi}{\Omega} \left( \Omega'' - \frac{\Omega'}{r} \right) + \frac{2l}{k^2 r^2 + l^2} \frac{\Omega' \psi}{\Omega r}, \end{aligned} \quad (49)$$

которое является обобщением уравнения Рэлея

$$\psi'' - k^2 \psi + \frac{kv''}{\omega - kv} \psi = 0. \quad (50)$$

на случай цилиндрической геометрии задачи (см. Приложение 1). Действительно, уравнение (50) получается из (49) устремлением  $r$  к бесконечности (что соответствует переходу к плоской геометрии).

<sup>4</sup>Здесь и далее штрих обозначает дифференцирование по  $r$ .

### 3 Потенциальное приближение

В этом разделе будет получена оценка инкремента неустойчивости электронного потока с неоднородным профилем скорости. Для этого рассмотрим уравнение (45) в случае простейшего ступенчатого профиля скорости<sup>5</sup> (рис.3):

$$\begin{aligned} r < r_0 : & v = v_1, & \omega_p = \omega_{p1}, \\ r > r_0 : & v = v_2, & \omega_p = \omega_{p2}. \end{aligned} \quad (51)$$

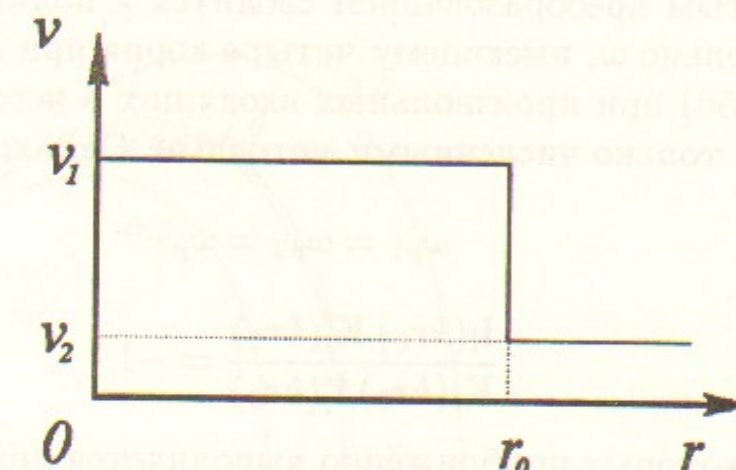


Рис. 3: Ступенчатый профиль скорости.

Решения (45) в областях  $r < r_0$  и  $r > r_0$ , с учётом граничных условий в нуле и на бесконечности, выражаются через цилиндрические функции мнимого аргумента:

$$\begin{aligned} r < r_0 : & \tilde{E}_z = A I_l(kr), \\ r > r_0 : & \tilde{E}_z = B K_l(kr). \end{aligned} \quad (52)$$

Условия сшивки решений (52) получаются интегрированием уравнения (45) по малому промежутку  $[r_0 - \varepsilon; r_0 + \varepsilon]$  с последующим устремлением  $\varepsilon$  к нулю и принимают вид

$$\{\tilde{E}_z\} = 0, \quad (53)$$

$$\left\{ \left( 1 - \frac{\omega_p^2}{\Omega^2} \right) \tilde{E}'_z \right\} = 0. \quad (54)$$

<sup>5</sup>Выход дисперсионного соотношения для профиля (51) в потенциальном приближении аналогичен приведённому в [14].

Фигурные скобки здесь означают скачок соответствующих величин при прохождении через точку  $r_0$ :

$$\{f\} = f|_{r_0+0} - f|_{r_0-0}. \quad (55)$$

Из условий (53), (54) получаем искомое дисперсионное уравнение:

$$1 - \frac{\omega_{p1}^2}{(\omega - kv_1)^2} = \left(1 - \frac{\omega_{p2}^2}{(\omega - kv_2)^2}\right) \frac{I_l(kr_0) K'_l(kr_0)}{K_l(kr_0) I'_l(kr_0)}, \quad (56)$$

которое простым преобразованием сводится к полиному четвёртой степени относительно  $\omega$ , имеющему четыре корня при любом  $k$ .

Решение (56) при произвольных входящих в него параметрах может быть найдено только численными методами. Однако при условиях

$$\omega_{p1} = \omega_{p2} = \omega_p, \quad (57)$$

$$\frac{I_l(kr_0) K'_l(kr_0)}{K_l(kr_0) I'_l(kr_0)} = -1, \quad (58)$$

последнее из которых приближённо выполняется при  $kr_0 \gg 1$ , уравнение (56) приводится к биквадратному (см. [14]) (без потери общности далее будем полагать  $v_2 = -v_1$ ):

$$2 = \frac{\omega_p^2}{(\omega - kv_1)^2} + \frac{\omega_p^2}{(\omega + kv_1)^2},$$

$$\omega^4 - 2(kv_1)^2\omega^2 + (kv_1)^4 = \omega_p^2 [\omega^2 + (kv_1)^2],$$

откуда получаем решение в аналитическом виде:

$$\omega^2 = \omega_p^2 \frac{2\tau + 1 \pm \sqrt{8\tau + 1}}{2}, \quad \tau = \left(\frac{kv_1}{\omega_p}\right)^2, \quad (59)$$

из которого следует, что при  $\tau < 1$  один из четырёх корней имеет положительную мнимую часть:

$$\omega = \omega_p \sqrt{\frac{\sqrt{8\tau + 1} - 2\tau - 1}{2}}, \quad \tau < 1, \quad (60)$$

$$\omega \approx ikv_1, \quad \tau \ll 1. \quad (61)$$

Рассмотренный частный случай весьма показателен, так как условие (57) выполнено с большой точностью в силу (2), а (58) при  $r_0 \sim c/\omega_p$  требует  $\tau \gg v_1/c$ , что совместимо с условием неустойчивости  $\tau < 1$ .

Зависимость инкремента неустойчивости от  $k$ , определяемая выражением (60) при  $v_1 = 0.03 c$ ,  $r_0 = c/\omega_p$ , приведена на рисунке 4. Здесь же показаны численные решения уравнения (56) для различных значений  $\omega_{p1}^2/\omega_{p2}^2$  (при  $l = 0$ ), демонстрирующие нечувствительность инкремента к изменениям этого отношения.

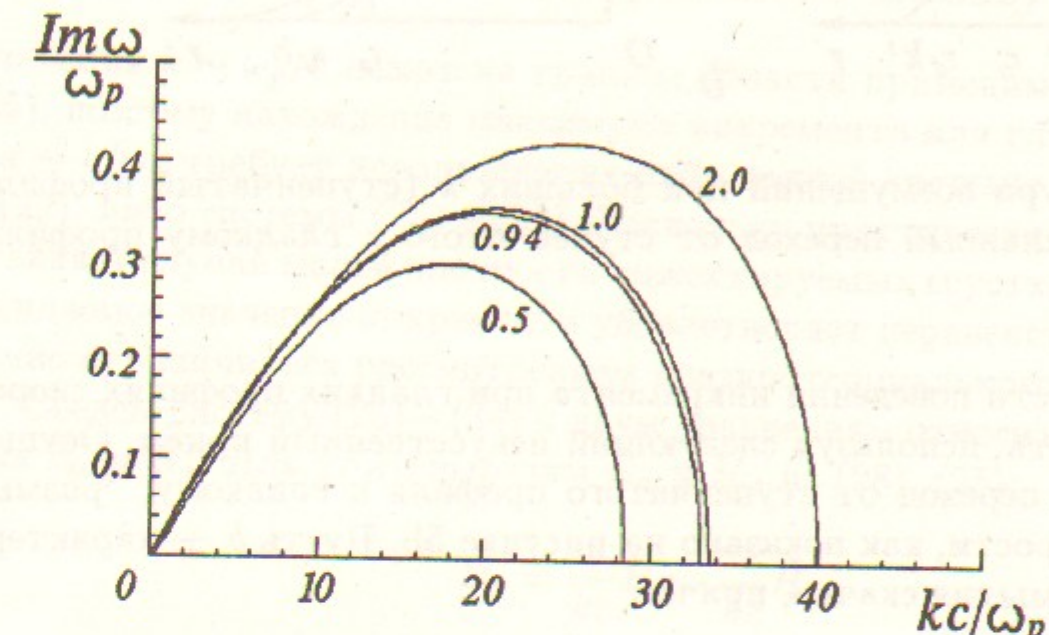


Рис. 4: Дисперсионные кривые для ступенчатого профиля скорости при различных значениях отношения  $\omega_{p1}^2/\omega_{p2}^2$ .

Компьютерный счёт также позволяет проанализировать поведение  $Im \omega$  при малых  $k$  ( $kr_0 < 1$ ). При  $l = 0$  имеет место степенной (пропорциональный  $k^m$ ,  $m > 1$ ) рост инкремента, при  $l \neq 0$  отличия от предсказываемого формулой (61) линейного роста ( $Im \omega \approx kv_1$ ) невелики.

Из асимптотических выражений для цилиндрических функций следует, что при  $kr_0 \gg 1$  возмущения  $\tilde{E}_z$  сосредоточены вблизи точки разрыва скорости (рис. 5а) с характерным масштабом локализации  $k^{-1}$ . Таким образом, большие (порядка  $\omega_p$ ) значения инкремента обусловлены наличием разрыва. Естественно ожидать, что в случае гладкого<sup>6</sup> про-

<sup>6</sup> Здесь и далее под гладким будет пониматься профиль скорости с непрерывными производными  $v'$  и  $v''$ , не имеющий других пространственных масштабов, кроме характерного масштаба локализации движения  $a$ , так что можно в оценках полагать  $\frac{\partial}{\partial r} \sim \frac{1}{a}$ .

филя скорости картина неустойчивости будет существенно отличаться от описанной выше.

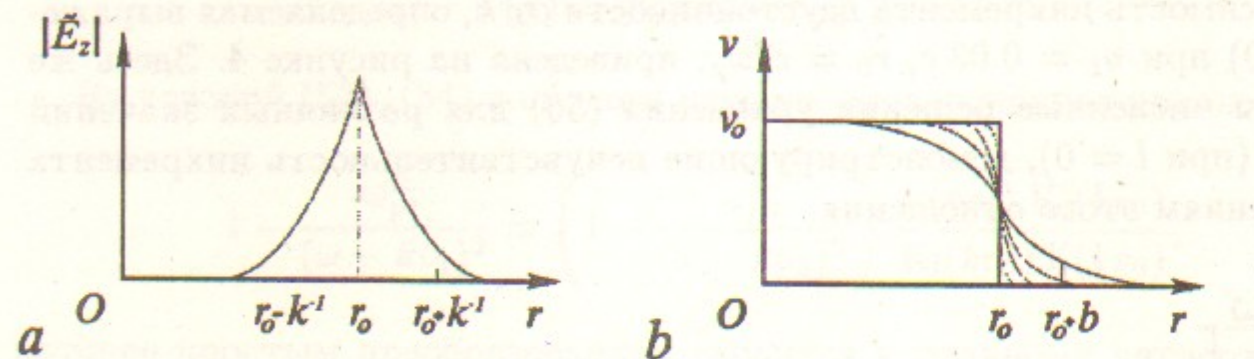


Рис. 5: Структура возмущений при больших  $k$  (ступенчатый профиль скорости) (а); плавный переход от ступенчатого к гладкому профилю скорости (б).

Закономерности поведения инкремента при гладких профилях скорости можно понять, используя следующий искусственный приём. Осуществим плавный переход от ступенчатого профиля к гладкому, “размывая” скачок скорости, как показано на рисунке 5б. Пусть  $b$  — характерный размер размытия скачка, причём

$$\frac{v_0}{\omega_p} \ll b \ll r_0. \quad (62)$$

Если возмущения “прощупывают” широкую по сравнению с  $b$  область пространства ( $\omega_p/c \ll k \ll b^{-1}$ ), то для них отличие сглаженной ступеньки от ступеньки идеальной не существенно. Следовательно, при  $k \ll b^{-1}$  мнимая часть инкремента будет линейно расти в соответствии с формулой (61).

Обратимся теперь к случаю  $k \gg b^{-1}$ . Можно показать (см. Приложение 2), что если выполнено условие

$$b^{-1} \ll k \ll \frac{\omega_p}{v_0}, \quad (63)$$

то уравнение (45) не имеет решений с  $|\omega| \ll \omega_p$ . Это значит, что линейный при малых  $k$  рост инкремента должен в области  $k \sim b^{-1}$  смениться убыванием до нуля, так как только в точке нулевого инкремента (при  $k = k_0$ ) неустойчивая мода ( $\text{Im } \omega > 0$ ) может исчезнуть (соединившись со своей комплексно-сопряжённой  $\text{Im } \omega < 0$ ) и тем самым обеспечить отсутствие не только неустойчивых, но и вообще любых колебаний с  $|\omega| \ll \omega_p$ .

Из приведённых рассуждений следует, что в случае сглаженного профиля максимальное значение инкремента достигается в области  $k \sim b^{-1}$  и имеет порядок величины  $v_0/b$ . Увеличивая  $b$  до размера самого пучка  $a$  ( $a \sim c/\omega_p$ ), получаем, что при гладком профиле скорости максимум инкремента должен достигаться в области  $k \sim \omega_p/c$  и быть порядка  $\omega_p v/c$ .

#### 4 Квазипотенциальное приближение, аксиально-симметричные возмущения

Значения  $k \sim \omega_p/c$  лежат на границе области применимости уравнения (45), поэтому нахождение максимума инкремента для гладкого профиля с  $a \sim c/\omega_p$  требует использования либо полной системы уравнений (13) – (22), либо системы (25) – (34). Поскольку практический интерес представляет случай малой плотности инжектируемых сгустков, при котором ожидаемое значение инкремента удовлетворяет неравенству (23), достаточно ограничиться рассмотрением квазипотенциального приближения.

Сведём систему (25) – (34) к двум уравнениям относительно переменных  $\tilde{E}_z$  и  $\tilde{H}_z$ . Для этого выразим  $\tilde{E}_\varphi$  и  $\tilde{H}_\varphi$  из (28), (25):

$$\tilde{E}_\varphi = \frac{l}{kr} \tilde{E}_z - \frac{\omega}{kc} \tilde{H}_r, \quad (64)$$

$$\tilde{H}_\varphi = \frac{l}{kr} \tilde{H}_z - \frac{4\pi ne}{kc} \tilde{v}_r, \quad (65)$$

и подставим полученные выражения в (33) и (32):

$$i\Omega \tilde{v}_\varphi = \frac{le}{mkr} \tilde{E}_z - \frac{e\Omega}{mkc} \tilde{H}_r, \quad (66)$$

$$\tilde{E}_r = i \frac{m}{e} \left( \Omega - \frac{\omega_p^2 v_z}{kc^2} \right) \tilde{v}_r + \frac{lv_z}{kcr} \tilde{H}_z. \quad (67)$$

Используя (65) и (67), преобразуем уравнение (29):

$$-\frac{km}{e} \left( \Omega - \frac{\omega_p^2 v_z}{kc^2} \right) \tilde{v}_r - \frac{4\pi ne\omega}{kc^2} \tilde{v}_r + \frac{il}{kcr} (kv_z - \omega) \tilde{H}_z - \frac{\partial \tilde{E}_z}{\partial r} = 0,$$

и выразим из него  $\tilde{v}_r$ :

$$\tilde{v}_r = -\frac{ke}{mq^2 \Omega} \frac{\partial \tilde{E}_z}{\partial r} - \frac{ie}{mq^2 cr} \tilde{H}_z. \quad (68)$$

Здесь введено обозначение

$$q^2 = k^2 + \frac{\omega_p^2}{c^2}. \quad (69)$$

Из (26) с помощью (66) выражаем  $\tilde{H}_r$  через  $\tilde{E}_z$  и  $\tilde{H}_z$ :

$$\imath k \Omega \tilde{H}_r - \Omega \frac{\partial \tilde{H}_z}{\partial r} = \frac{4\pi n e}{c} \left( \frac{le}{mkr} \tilde{E}_z - \frac{e\Omega}{mkc} \tilde{H}_r \right),$$

$$\tilde{H}_r = \frac{l\omega_p^2}{q^2\Omega cr} \tilde{E}_z - \frac{\imath k}{q^2} \frac{\partial \tilde{H}_z}{\partial r}. \quad (70)$$

Наконец, подставляя  $\tilde{v}_r$ ,  $\tilde{v}_z$ ,  $\tilde{v}_\varphi$ ,  $\tilde{H}_r$  из (68), (34), (66), (70) в (31), имеем

$$\begin{aligned} & \imath \Omega \frac{1}{r} \frac{\partial}{\partial r} r \left( -\frac{ke}{mq^2\Omega} \frac{\partial \tilde{E}_z}{\partial r} - \frac{ule}{mq^2cr} \tilde{H}_z \right) = \\ & = k \left[ \frac{e}{m} \tilde{E}_z + \frac{\partial \tilde{v}_z}{\partial r} \left( -\frac{ke}{mq^2\Omega} \frac{\partial \tilde{E}_z}{\partial r} - \frac{ule}{mq^2cr} \tilde{H}_z \right) \right] + \\ & + \frac{l}{r} \left[ \frac{le}{mkr} \tilde{E}_z - \frac{e\Omega}{mkc} \left( \frac{l\omega_p^2}{q^2\Omega cr} \tilde{E}_z - \frac{\imath k}{q^2} \frac{\partial \tilde{H}_z}{\partial r} \right) \right], \\ & \frac{\Omega}{r} \frac{\partial}{\partial r} \frac{r}{\Omega} \frac{\partial \tilde{E}_z}{\partial r} - \frac{q^2}{k^2} \left( k^2 + \frac{l^2}{r^2} \right) \tilde{E}_z + \frac{l^2 \omega_p^2}{k^2 c^2 r^2} \tilde{E}_z + \frac{k}{\Omega} \frac{\partial v_z}{\partial r} \frac{\partial \tilde{E}_z}{\partial r} + \frac{ul}{cr} \frac{\partial v_z}{\partial r} \tilde{H}_z = 0, \\ & \frac{1}{r} \frac{\partial}{\partial r} r \frac{\partial \tilde{E}_z}{\partial r} - \left( q^2 + \frac{l^2}{r^2} \right) \tilde{E}_z - 2 \frac{\Omega'}{\Omega} \frac{\partial \tilde{E}_z}{\partial r} - \frac{ul\Omega'}{kcr} \tilde{H}_z = 0 \quad (71) \end{aligned}$$

или

$$\frac{\Omega^2}{r} \frac{\partial}{\partial r} \frac{r}{\Omega^2} \frac{\partial \tilde{E}_z}{\partial r} - \left( q^2 + \frac{l^2}{r^2} \right) \tilde{E}_z - \frac{ul\Omega'}{kcr} \tilde{H}_z = 0. \quad (72)$$

Аналогично, подставляя  $\tilde{E}_\varphi$ ,  $\tilde{E}_r$ ,  $\tilde{H}_r$  и  $\tilde{v}_r$  из (64), (67), (70), (68) в (30), получаем

$$\begin{aligned} & \frac{1}{r} \frac{\partial}{\partial r} r \left[ \frac{l}{kr} \tilde{E}_z - \frac{\omega}{kc} \left( \frac{l\omega_p^2}{q^2\Omega cr} \tilde{E}_z - \frac{\imath k}{q^2} \frac{\partial \tilde{H}_z}{\partial r} \right) \right] - \\ & - \frac{ul}{r} \left[ \imath \frac{m}{e} \left( \Omega - \frac{\omega_p^2 v_z}{kc^2} \right) \left( -\frac{ke}{mq^2\Omega} \frac{\partial \tilde{E}_z}{\partial r} - \frac{ule}{mq^2cr} \tilde{H}_z \right) + \frac{lv_z}{kcr} \tilde{H}_z \right] = \frac{\omega}{c} \tilde{H}_z, \end{aligned}$$

$$\frac{\imath}{r} \frac{\partial}{\partial r} r \frac{\partial \tilde{H}_z}{\partial r} - \imath \left( q^2 + \frac{l^2}{r^2} \right) \tilde{H}_z + \frac{l\omega_p^2}{kcr} \frac{\Omega'}{\Omega^2} \tilde{E}_z = 0. \quad (73)$$

В случае аксиально-симметричных возмущений ( $l = 0$ ) система (72), (73) расщепляется на два независимых уравнения, причём второе из них очевидностью даёт  $\tilde{H}_z \equiv 0$  (ср. с (42), (44)). Первое же имеет такую же структуру, как и уравнение (47), что позволяет выразить дисперсионное соотношение  $\omega(k)$  через функцию  $\omega_{pot}(k)$ , которую можно получить из (47). Действительно, производя в уравнении (72) замену

$$\omega(k) = \frac{k}{q} \omega_{pot}(q), \quad (74)$$

имеем

$$\frac{(\omega_{pot} - qv_z)^2}{r} \frac{\partial}{\partial r} \frac{r}{(\omega_{pot} - qv_z)^2} \frac{\partial \tilde{E}_z}{\partial r} - q^2 \tilde{E}_z = 0, \quad (75)$$

что, с точностью до обозначений, совпадает с (47) при  $l = 0$ . Таким образом, задача об устойчивости неоднородного течения электронов может быть сведена к анализу уравнения (47) или эквивалентного ему (49).

Последнее обстоятельство позволяет сформулировать необходимое и достаточное условие существования неустойчивой аксиально-симметричной моды. Если данный гладкий профиль является неустойчивым, то обязательно неустойчивая область должна завершаться точкой нейтральных колебаний (см. Приложение 2 и раздел 3). И наоборот, наличие точки с  $\text{Im } \omega = 0$  влечёт за собой неустойчивость (см. Приложение 1.4). Определить же, будут ли при данном гладком профиле существовать нейтральные колебания, можно, решая задачу о наличии связанных состояний с “энергией” ( $-k^2$ ) в “потенциале”

$$U(r) = \frac{3}{4r^2} + \frac{v''(r) - v'(r)/r}{v(r) - v(r_0)} \quad (76)$$

(см. уравнение (147) Приложения 1). Здесь  $r_0$  — точка “перегиба” (см. (138)), в которой выполнено условие

$$v_z'' - \frac{v_z'}{r} = 0 \quad \text{при} \quad r = r_0 \neq 0. \quad (77)$$

Наличие связанного состояния с “энергией”, большей  $\omega_p^2/c^2$  (по модулю), означает неустойчивость (в квазипотенциальном приближении) данного профиля скорости.

Таким образом, в случае  $l = 0$  можно предложить следующий алгоритм исследования гладкого профиля на неустойчивость.

- Найти точки  $r_0^{(i)}$ , в которых выполнено условие (77). Если таких точек нет — профиль устойчив.
- Для каждого значения  $r_0^{(i)}$  определить “энергию”  $E^{(n)} = -(k_{pot}^{(n)})^2$  связанных состояний в потенциале (76). Если ни при каких  $r_0^{(i)}$  нет связанных состояний с  $k_{pot}^{(n)} > \omega_p/c$  — профиль устойчив, иначе — неустойчив.
- По найденным значениям  $k_{pot}^{(n)}$  восстановить частоты нейтральных колебаний,  $\omega_{pot}^{(n)} = k_{pot}^{(n)} v(r_0^{(i)})$ .
- Если требуется, “вытянуть” численными методами из точек нейтральных колебаний фиктивные дисперсионные кривые  $\omega_{pot}^{(n)}(k)$  (см. Приложение 3).
- Получить дисперсионные кривые  $\omega^{(n)}(k)$  из зависимостей  $\omega_{pot}^{(n)}(k)$  с помощью формулы пересчёта (74).

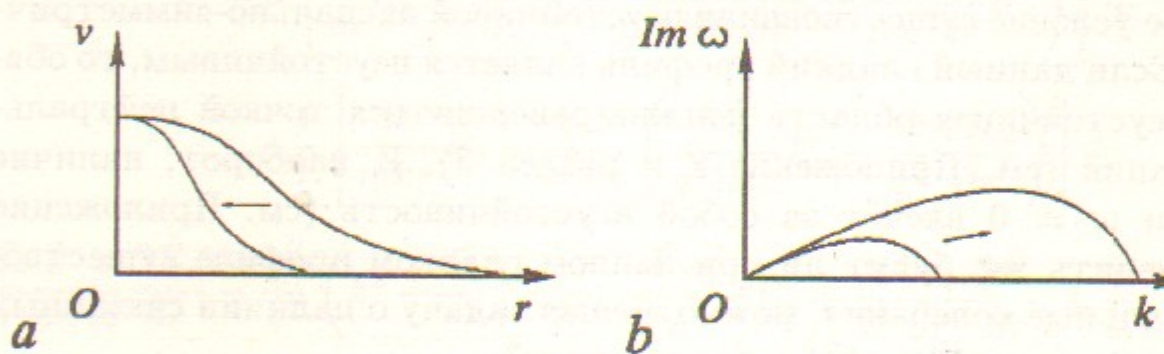


Рис. 6: Сжатие профиля скорости (а), и соответствующее видоизменение дисперсионной кривой (б).

Заметим, что, располагая набором дисперсионных кривых  $\omega_{pot}(k)$ , полученных из уравнения (49) для некоторого профиля  $v(r)$ , можно простым пересчётом получить аналогичные кривые для растянутого или сжатого по радиусу профиля той же формы<sup>7</sup>. Производя замену

$$v(r) \rightarrow \hat{v}(r) = v(\alpha r), \quad k \rightarrow \hat{k} = \alpha k, \quad \omega \rightarrow \hat{\omega} = \alpha \omega, \quad (\alpha > 0), \quad (78)$$

мы не изменяем структуру уравнения (49). Поэтому дисперсионные кривые  $\hat{\omega}(\hat{k})$  для сжатого в  $\alpha$  раз профиля (рис.6а) получатся растяжением

<sup>7</sup>Это утверждение верно для любых  $\alpha$ .

исходных кривых  $\omega(k)$  по осям  $\omega$  и  $k$  в  $\alpha$  раз (рис.6б):

$$\hat{\omega}(\hat{k}) = \alpha \omega \left( \frac{k}{\alpha} \right). \quad (79)$$

## 5 Аксиально-несимметричные возмущения

В случае аксиально-несимметричных возмущений анализ положения точки нейтральных колебаний мало что может дать для исследования профиля скорости на устойчивость-неустойчивость, поскольку не удается найти простого способа отыскания этой точки. Взамен этого оказывается возможным судить о неустойчивости по её инкременту при малых  $k$  (при  $k = 0, l \neq 0$  он не обращается в нуль).

Действительно, полагая в уравнениях (72), (73)

$$k = 0, \quad \Omega = \omega, \quad \frac{\Omega'}{k} = -v_z', \quad (80)$$

имеем

$$\frac{1}{r} \frac{\partial}{\partial r} r \frac{\partial \tilde{E}_z}{\partial r} - \left( \frac{\omega_p^2}{c^2} + \frac{l^2}{r^2} \right) \tilde{E}_z + \frac{i l v_z'}{c r} \tilde{H}_z = 0, \quad (81)$$

$$\frac{1}{r} \frac{\partial}{\partial r} r \frac{\partial \tilde{H}_z}{\partial r} - \left( \frac{\omega_p^2}{c^2} + \frac{l^2}{r^2} \right) \tilde{H}_z + \frac{i l \omega_p^2 v_z'}{\omega^2 c r} \tilde{E}_z = 0. \quad (82)$$

Систему (81), (82) можно переписать в симметричной (относительно замены  $\omega_p \tilde{E}_z$  на  $\omega \tilde{H}_z$  и наоборот) форме:

$$\frac{1}{r} \frac{\partial}{\partial r} r \frac{\partial (\omega_p \tilde{E}_z)}{\partial r} - \left( \frac{\omega_p^2}{c^2} + \frac{l^2}{r^2} \right) (\omega_p \tilde{E}_z) + \frac{i l \omega_p v_z'}{\omega c r} (\omega \tilde{H}_z) = 0, \quad (83)$$

$$\frac{1}{r} \frac{\partial}{\partial r} r \frac{\partial (\omega \tilde{H}_z)}{\partial r} - \left( \frac{\omega_p^2}{c^2} + \frac{l^2}{r^2} \right) (\omega \tilde{H}_z) + \frac{i l \omega_p v_z'}{\omega c r} (\omega_p \tilde{E}_z) = 0. \quad (84)$$

Вычитание (84) из (83) даёт<sup>8</sup>

$$\frac{1}{r} \frac{\partial}{\partial r} r \frac{\partial W}{\partial r} - \left( \frac{\omega_p^2}{c^2} + \frac{l^2}{r^2} \right) W - \frac{i l \omega_p v_z'}{\omega c r} W = 0, \quad (85)$$

<sup>8</sup>Сложение уравнений (83) и (84) приведёт к комплексно-сопряжённым собственным значениям  $\omega$ , соответствующим затуханию возмущений.

где введено обозначение

$$W = \omega_p \tilde{E}_z - \omega \tilde{H}_z. \quad (86)$$

Если при некотором значении  $\omega$  уравнение (85) имеет нетривиальное решение  $W(r)$ , то система (83), (84) также будет иметь нетривиальное решение:

$$\omega_p \tilde{E}_z = -\omega \tilde{H}_z = \frac{W}{2}. \quad (87)$$

И наоборот, собственное значение  $\omega$  системы (83), (84), очевидно, будет собственным значением и для уравнения (85). Таким образом, симметрия системы (83), (84) позволяет свести задачу о собственных частотах при  $k = 0$  к исследованию одного дифференциального уравнения второго порядка (85).

Кроме того, из (85) следует, что при монотонном профиле скорости электронов частота  $\omega$  должна быть чисто мнимой, что ещё больше облегчает её нахождение. Действительно, обозначим

$$\gamma_0 = -i\omega, \quad \omega = i\gamma_0. \quad (88)$$

Умножим (85) на  $rW^*$  и вычтем из результата комплексно-сопряжённое уравнение:

$$W^* \frac{\partial}{\partial r} r \frac{\partial W}{\partial r} - W \frac{\partial}{\partial r} r \frac{\partial W^*}{\partial r} - \frac{i\omega_p v_z'}{c} \left( \frac{1}{\gamma_0} - \frac{1}{\gamma_0^*} \right) |W|^2 = 0. \quad (89)$$

При интегрировании (89) по  $r$  от нуля до бесконечности первые два слагаемых обращаются в нуль. Последнее же слагаемое даёт

$$\left( \frac{1}{\gamma_0} - \frac{1}{\gamma_0^*} \right) \int_0^\infty v_z' |W|^2 dr = 0, \quad (90)$$

откуда и следует вещественность  $\gamma_0$  при знакопределённой функции  $v_z'(r)$ .

Очевидно, что инкремент  $\gamma_0$  может быть найден как решение вариационной задачи, обеспечивающей экстремум функционала

$$\int_0^\infty v_z' W^2 dr \quad (91)$$

при условии

$$\int_0^\infty \left[ \left( \frac{\partial W}{\partial r} \right)^2 + \left( \frac{\omega_p^2}{c^2} + \frac{l^2}{r^2} \right) W^2 \right] r dr = \text{const.} \quad (92)$$

Анализ уравнения (85) начнём с рассмотрения ступенчатого профиля скорости (51) (дополнительно положив  $v_2 = 0, \omega_{p1} = \omega_{p2} = \omega_p$ ). Производя, по аналогии с разделом 3, сшивку решений уравнения (85) в областях  $r < r_0$  и  $r > r_0$

$$\begin{aligned} r < r_0 : \quad W &= A I_l(r\omega_p/c), \\ r > r_0 : \quad W &= B K_l(r\omega_p/c) \end{aligned} \quad (93)$$

посредством вытекающих из (85) условий

$$\{W\} = 0, \quad (94)$$

$$\{W'\} - \frac{i\omega_p}{\gamma_0 c r_0} (-v_1) W = 0, \quad (95)$$

находим

$$\gamma_0 = \frac{lv_1}{r_0} G, \quad (96)$$

где  $G$  — число порядка единицы,

$$G = \frac{I_l(\omega_p r_0/c) K_l(\omega_p r_0/c)}{I'_l(\omega_p r_0/c) K_l(\omega_p r_0/c) - I_l(\omega_p r_0/c) K'_l(\omega_p r_0/c)}. \quad (97)$$

В формуле (97) штрих означает производные цилиндрических функций по аргументу, а не по  $r_0$ .

Итак, в случае ступенчатого профиля скорости для каждого значения  $l$  существует только одна неустойчивая мода, имеющая инкремент (при  $r_0 \sim \omega_p/c, l \sim 1$ ) порядка  $i\omega_p v_1/c$ .

Обратимся теперь к гладким профилям скорости. Будем искать решение уравнения (85) в виде квазиклассического волнового пакета:

$$W = \tilde{W}(r) \exp(i\kappa r), \quad (98)$$

где

$$\kappa \gg \frac{l}{a}, \quad \kappa \gg \frac{\omega_p}{c}, \quad (99)$$

а характерный масштаб изменения  $\tilde{W}(r)$  много больше  $\kappa^{-1}$ . Пренебрегая в силу (99) малыми членами в (85), после сокращения на  $\tilde{W}(r)$  имеем

$$\begin{aligned} -\kappa^2 - \frac{l\omega_p v'_z(r)}{\gamma_0 c r} &= 0, \\ \gamma_0 &= -\frac{l\omega_p v'_z(r)}{\kappa^2 c r}, \end{aligned} \quad (100)$$

где  $r$  — радиус, на котором локализован волновой пакет. Учёт в (85) членов следующего порядка малости и граничных условий в нуле и на бесконечности выделят из непрерывного спектра (100) дискретные значения  $\gamma_0$ . Какими будут эти значения — зависит от конкретного профиля скорости. Однако, в любом случае, каждому значению  $l$  будет соответствовать бесконечное количество неустойчивых мод с убывающими (с ростом  $\kappa$ ) инкрементами. Для обозначения этих мод введём дополнительное квантовое число  $m \geq 1$  (радиальное квантовое число) так, чтобы меньшим значениям  $m$  соответствовали моды с большим при  $k = 0$  инкрементом.

Экстраполируя формулу (100) в область минимально возможных при условии (99) значений  $\kappa$  ( $\kappa \sim l/a$ ), находим, что любой гладкий профиль будет неустойчивым, и максимальное значение инкремента по порядку величины будет  $\omega_p v_z/c$  (при  $l = 1$ , см. также сноску на стр. 15).

Определить же точное значение максимального инкремента возможно лишь с помощью численного счёта. Для этого предлагается следующий алгоритм.

1. Задавшись конкретным профилем скорости, найти из уравнения (85) значения инкремента при  $k = 0$  (что по сложности эквивалентно определению энергий связанных состояний в некотором потенциале).
2. Вычислить предел отношения

$$\lim_{r \rightarrow 0} \frac{\tilde{H}_z(r)}{\tilde{E}_z(r)} = \hat{H}_0. \quad (101)$$

Этот предел всегда существует, поскольку при малых  $r$  решения системы (72), (73) ведут себя как функции Бесселя,

$$\tilde{E}_z(r) \approx E_0 r^l, \quad \tilde{H}_z(r) \approx H_0 r^l. \quad (102)$$

При  $k = 0$  предел (101) равен  $\omega_p/l\gamma_0$  (что следует из (87)).

3. “Вытянуть” из точки  $k = 0$  дисперсионную кривую методом, аналогичным описанному в Приложении 3. Эта процедура оказывается более сложной, чем при  $l = 0$ , поскольку для каждого значения  $k$  нужно вычислять уже два комплексных параметра  $\omega$  и  $\hat{H}_0$ . Кроме того, необходимость обращения в нуль двух комплексных величин  $\tilde{E}_z(r_{max})$  и  $\tilde{H}_z(r_{max})$  требует другого, нежели в Приложении 3, метода нахождения нулей функции  $F(\omega, \hat{H}_0, k) = |\tilde{E}_z(r_{max})|^2 + |\tilde{H}_z(r_{max})|^2$ .

## 6 Исследование конкретных профилей скорости

Применим развитую в предыдущих разделах теорию к анализу некоторых классов гладких профилей скорости.

### 6.1 Гауссовский профиль скорости

$$v_z(r) = v_0 \exp\left(-\frac{r^2}{a^2}\right), \quad (103)$$

— классический пример гладкого профиля с одним пространственным масштабом.

Вычисляя  $v'_z(r)$  и  $v''_z(r)$ ,

$$v'_z(r) = -\frac{2r}{a^2} v_z(r), \quad v''_z(r) = \left(\frac{4r^2}{a^4} - \frac{2}{a^2}\right) v_z(r),$$

находим, что условие (77) не выполнено ни в одной точке. Следовательно, профиль (103) устойчив по отношению к аксиально-симметричным возмущениям.

В случае же  $l \neq 0$ , как и предсказывалось ранее, существует бесконечное количество неустойчивых мод. Характерное для данного профиля семейство дисперсионных кривых, обладающих одним и тем же азимутальным квантовым числом  $l$ , показано на рисунке 7. Из рисунка 7, в частности, следует, что мода с  $m = 1$  (для анализа которой квазиклассическое приближение не может быть использовано) и при  $k \neq 0$  обладает максимальным инкрементом (а значит, представляет наибольший интерес).

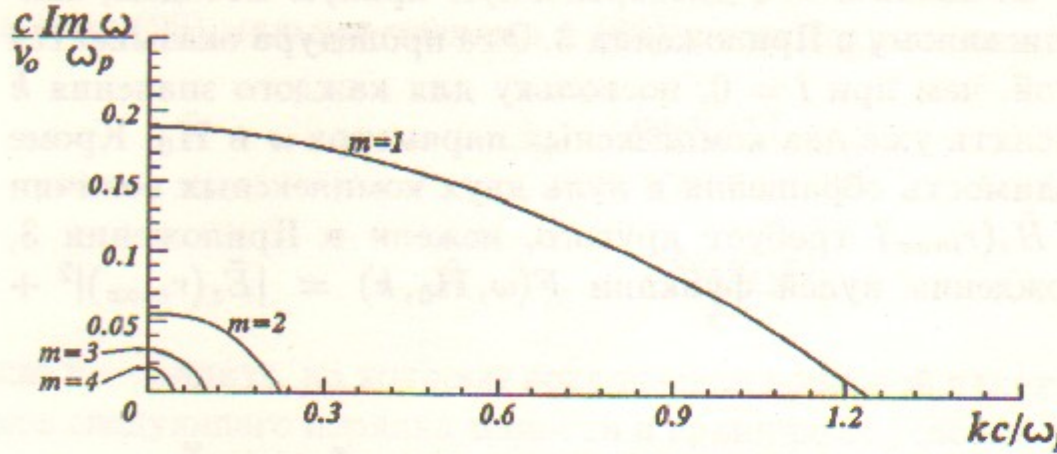


Рис. 7: Семейство дисперсионных кривых с  $l = 1$  для гауссовского профиля скорости ( $a = c/\omega_p$ ).

Дисперсионные кривые для мод с  $m = 1$  и различными  $l$  приведены на рисунке 8. Естественно ожидать, что аналогичная картина неустойчивости будет иметь место и для других гладких профилей скорости<sup>9</sup>.

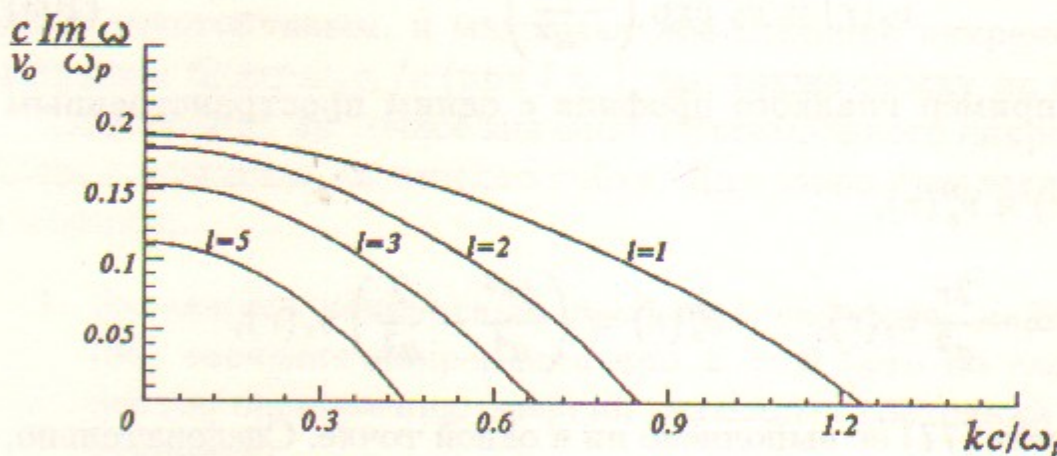


Рис. 8: Семейство дисперсионных кривых с  $m = 1$  для гауссовского профиля скорости ( $a = c/\omega_p$ ).

На рисунке 9а значения инкрементов при  $k = 0$  и различных  $l$  и  $m$  собраны в единую диаграмму. Поскольку для каждой из неустойчивых мод максимальное значение инкремента достигается вблизи точки  $k = 0$  (что следует из графиков на рис. 7 и 8), то по рисунку 9а можно судить о зависимости максимального инкремента моды от  $l$  и  $m$ , то есть, об иерархии мод.

<sup>9</sup>Что подтверждается результатами исследования других профилей скорости, не включёнными в настоящую работу.

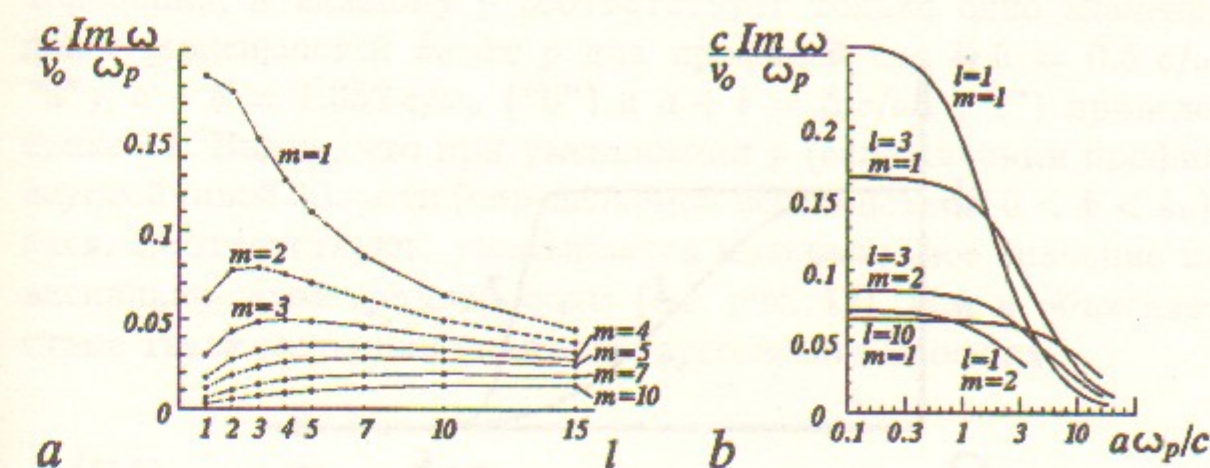


Рис. 9: Значения инкрементов при  $k = 0$  для гауссовского профиля скорости с  $a = c/\omega_p$  (а), зависимости инкрементов при  $k = 0$  от параметра  $a$  для того же профиля (б).

На примере гауссовского профиля можно проследить, как меняется картина неустойчивости при изменении ширины электронного потока. На рисунке 9б изображены зависимости инкремента от параметра  $a$  (при  $k = 0$ ) для некоторых характерных мод. Интересно отметить, что при уменьшении радиуса потока нет свойственного гидродинамической неустойчивости неограниченного роста инкремента.

## 6.2 Профиль скорости с косинусом (рис. 10)

$$\frac{v_z(r)}{v_0} = \begin{cases} 1, & 0 \leq r < a \\ 0.5 + 0.5 \cos(\pi(r-a)/b), & a \leq r < a+b \\ 0, & a+b \leq r \end{cases}. \quad (104)$$

С помощью (104) можно проследить за эволюцией неустойчивых мод при плавном переходе от гладкого профиля скорости к ступенчатому (51). Будем характеризовать форму профиля параметром  $p = a/b$ . Малым значениям  $p$  соответствует плавный профиль, похожий на гауссовский (кривая "1" на рис. 10). При больших  $p$  профиль скорости приближается к ступенчатому (кривая "2").

В области  $a < r < a+b$  имеем

$$\frac{v'_z(r)}{v_0} = -\frac{\pi}{2b} \sin\left(\frac{\pi}{b}(r-a)\right),$$

$$\frac{v''_z(r)}{v_0} = -\frac{\pi^2}{2b^2} \cos\left(\frac{\pi}{b}(r-a)\right),$$

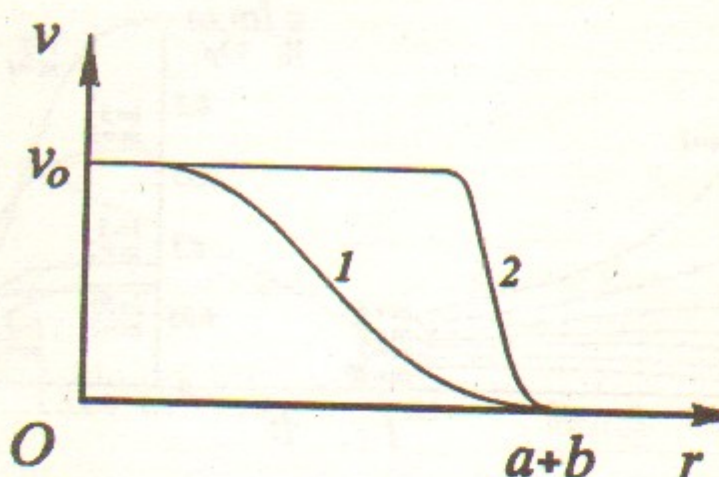


Рис. 10: Профиль скорости с косинусом.

откуда получаем условие резонанса:

$$\frac{\pi r}{b} = \tan\left(\frac{\pi}{b}(r - a)\right). \quad (105)$$

Условие (77) также тождественно выполняется на промежутках  $r < a$  и  $r > a + b$ . Это связано с нефизичностью выбранного профиля (в действительности, условие резонанса может выполняться лишь в отдельных точках), поэтому будем искать резонансные точки только на интервале  $a < r < a + b$ .

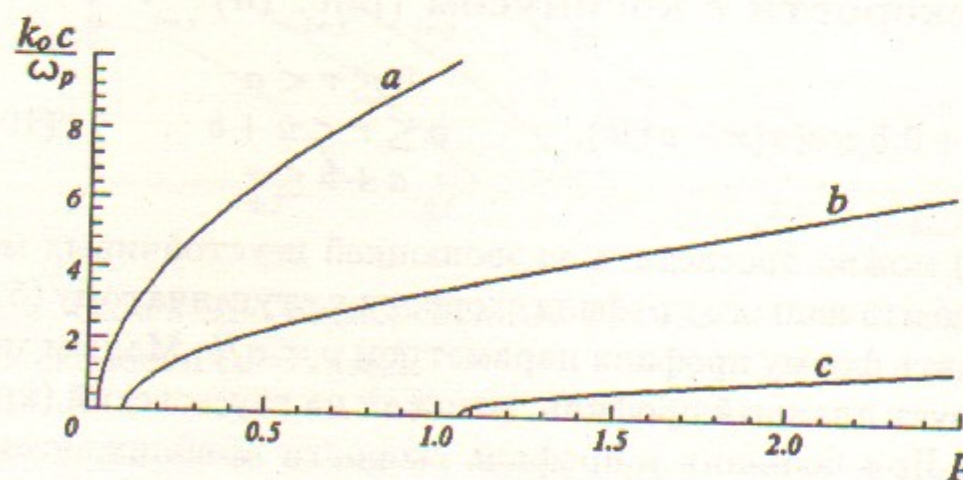


Рис. 11: Зависимости положения точки нейтральных колебаний  $k_0$  от параметра гладкости  $p$ .

Для любых  $a$  и  $b$  уравнение (105) имеет единственное решение  $r = r_0$ , причём  $a < r_0 < a + b/2$ . Численный анализ показывает, что при значениях  $p$ , больших некоторого (см. рис. 11), существуют незатухающие

колебания, и каждому  $p$  соответствует только одно значение  $k_0$ . Графики зависимостей  $k_0$  от  $p$  для профилей с  $a + b = 0.5 c/\omega_p$  (кривая "a"),  $a + b = 1.352 c/\omega_p$  ("b") и  $a + b = 5 c/\omega_p$  ("c") приведены на рисунке 11. Видно, что при уменьшении  $p$  (глаживании профиля) размер неустойчивой области (определенной неравенством  $0 < k < k_0$ ) уменьшается. Соответственно уменьшается максимальное значение инкремента аксиально-симметричной моды (см. рис. 12), чем и объясняется отсутствие такой моды для гладкого гауссовского профиля.

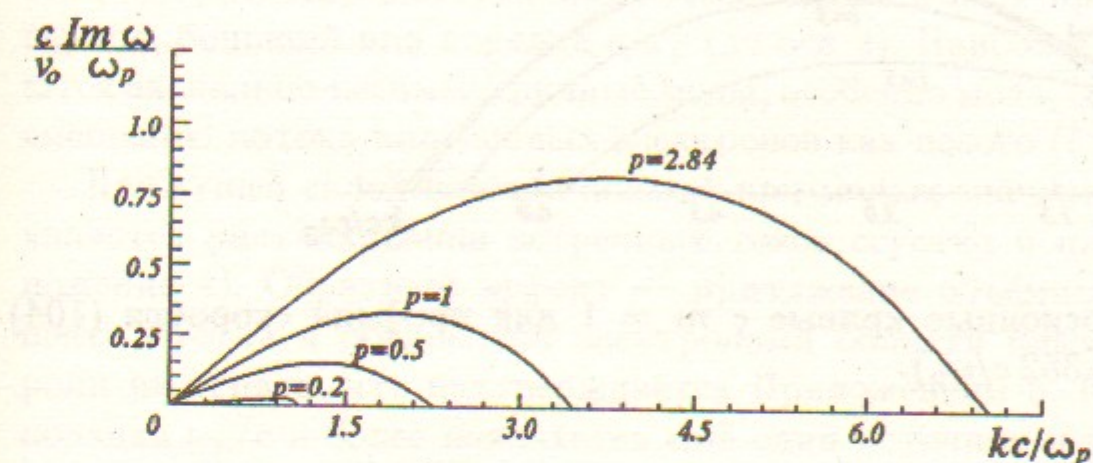


Рис. 12: Семейство дисперсионных кривых с  $l = 0$  и различными значениями  $p$  для профиля скорости (104) с  $a + b = 1.352 c/\omega_p$ .

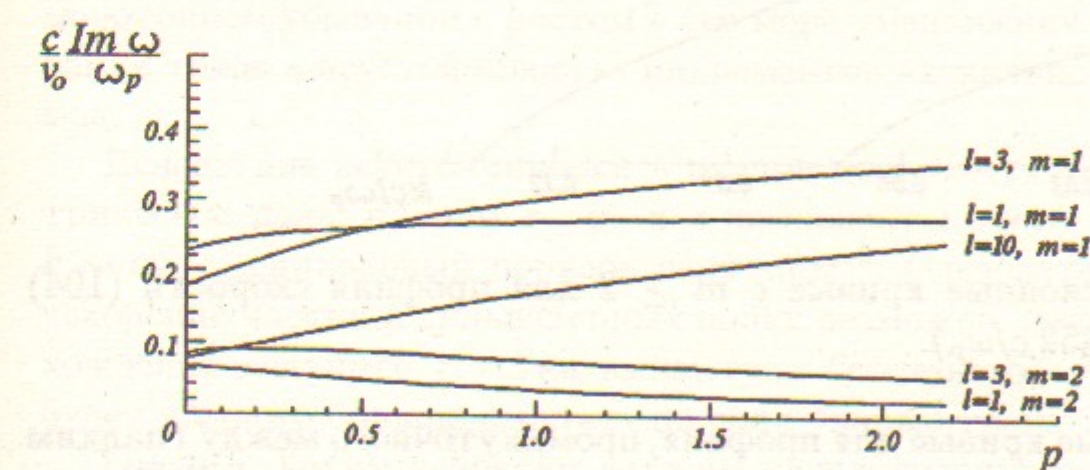


Рис. 13: Зависимость от  $p$  инкрементов (при  $k = 0$ ) типичных неустойчивых мод ( $a + b = 1.352 c/\omega_p$ ).

Эволюция аксиально-несимметричных мод при изменении профиля скорости отражена на рисунке 13, где приведены графики зависимости от  $p$  инкрементов (при  $k = 0$ ) типичных неустойчивых мод. В то время как

для мод с  $m = 1$  при увеличении  $p$  имеет место рост инкремента (причём тем больше, чем больше  $l$ ), инкременты остальных мод ( $m \geq 2$ ) убывают, так что при  $p = \infty$  ("идеальная ступенька") остаётся только одна неустойчивая мода ( $m = 1$ ) для каждого  $l$  (ср. с (96)).

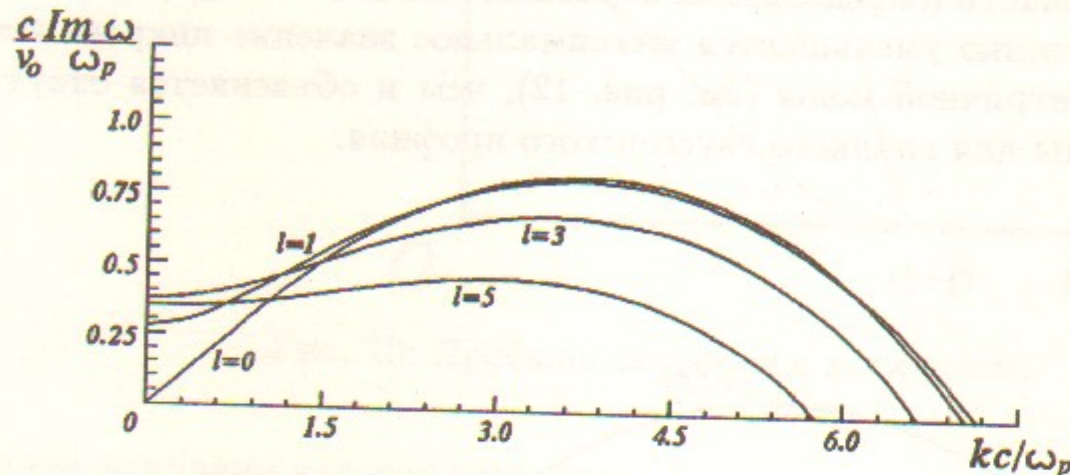


Рис. 14: Дисперсионные кривые с  $m = 1$  для профиля скорости (104) ( $a = c/\omega_p$ ,  $b = 0.352 c/\omega_p$ ).

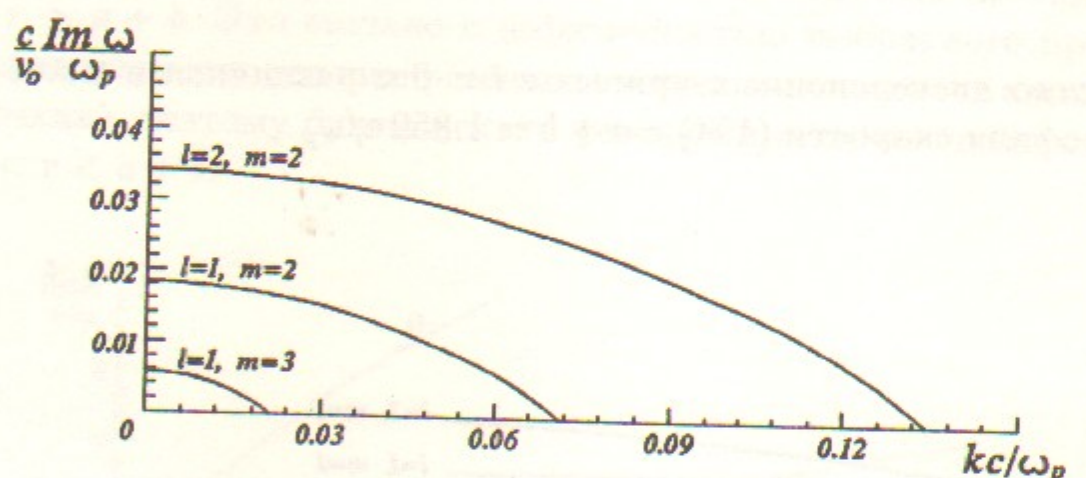


Рис. 15: Дисперсионные кривые с  $m \geq 2$  для профиля скорости (104) ( $a = c/\omega_p$ ,  $b = 0.352 c/\omega_p$ ).

Дисперсионные кривые для профиля, промежуточного между гладким и ступенчатым ( $a = c/\omega_p$ ,  $b = 0.352 c/\omega_p$ ,  $p = 2.84$ ), приведённые на рисунках 14 и 15, иллюстрируют сказанное выше об изменении картины неустойчивости при увеличении  $p$  (то есть, при появлении у профиля скорости второго пространственного масштаба).

## 7 Влияние обнаруженной неустойчивости на кильватерное ускорение

Итак, проведённое исследование показало, что при инжекции в плазму длинного ведущего сгустка в возникающем потоке плазменных электронов развивается неустойчивость. Характерное значение  $\gamma_m$  инкремента данной неустойчивости порядка  $A\omega_p n_b(z)/n_i$ , где  $A$  — числовой коэффициент ( $A \approx 0.2$  для гладкого профиля скорости электронов плазмы, см. рис.9, рис.13). Неустойчивые возмущения имеют пространственный период, больший или порядка  $c/\omega_p$  (по оси  $z$ ). Наиболее опасными являются аксиально-несимметричные моды, особенно мода, соответствующая смещению потока плазменных электронов как целого ( $l = 1$ ).

Движущей силой неустойчивости при малых значениях  $k$  ( $k \ll \omega_p/c$ ) является расталкивание встречных токов сгустка и плазмы (см. Приложение 4). Обратный эффект — притяжение объёмных зарядов ведущего сгустка и обеднённой электронами области плазмы — заметной роли не играет, что подтверждается Приложением 5. При значениях  $k$  порядка  $\omega_p/c$  и более появляется ещё один источник неустойчивости — проскальзывание одного слоя электронов относительно другого. Однако в случае гладкого профиля скорости с одним пространственным масштабом сдвиговое течение играет второстепенную роль. Это проявляется в отсутствии неустойчивости аксиально-симметричных возмущений (которая может быть вызвана только течением с проскальзыванием), а также в монотонном убывании с ростом  $k$  (по мере уменьшения вклада расталкивания токов в неустойчивость) инкрементов аксиально-несимметричных мод.

Вследствие неустойчивости в плазме появляется "паразитное" электрическое поле, причём  $r$ --,  $\varphi$ - и  $z$ -компоненты этого поля имеют (при  $k \sim \omega_p/c$ ) одинаковый порядок величины<sup>10</sup>. Следовательно, регулярное ускорение частиц в кильватерных полях возможно, лишь если после прохождения ведущего сгустка амплитуда "полезного" ускоряющего поля будет намного больше амплитуды поля "паразитного".

Оценим, каким условиям должны удовлетворять параметры сгустка и плазмы для того, чтобы неустойчивость не успела развиться до опасной величины. Пусть в плазму плотности  $n$  влетает "треугольный" сгусток длины  $L$ , сечения  $a^2$  и с полным зарядом  $Q$ . Перед сгустком движется

<sup>10</sup>Этот факт может быть выведен из выражений для полей (64), (67).

узкий предвестник (см. [4]) с зарядом

$$q_p = \frac{2Qc^2}{L^2\omega_p^2}. \quad (106)$$

Выберем направление оси  $\vec{z}$  таким образом, чтобы зависимость плотности основного сгустка от  $z$  имела следующий вид:

$$n_b(z) = n_{b0} \frac{z}{L} = \frac{2Q}{eLa^2} \cdot \frac{z}{L}. \quad (107)$$

Согласно [5], за задним фронтом ведущего сгустка возбуждаются плазменные колебания с амплитудой "полезного" электрического поля

$$E_+ = \frac{n_{b0}}{n} \cdot \frac{m\omega_p c}{e} = \frac{8\pi Q\omega_p}{Lc}. \quad (108)$$

"Паразитное" же электрическое поле за время прохождения сгустка вырастет до величины порядка

$$E_p = E_0 \exp \left( \int_0^{L/c} \gamma_m(t) dt \right) = E_0 \exp \left( \frac{A\omega_p}{c} \int_0^L \frac{n_b(z)}{n} dz \right). \quad (109)$$

Здесь  $E_0$  — исходная напряжённость поля, от уровня которой начинает расти неустойчивость. В качестве  $E_0$  нужно взять поле, возникающее вследствие переходных процессов в момент инъекции начала сгустка:

$$E_0 = \frac{\alpha q_p \omega_p^2}{c^2} = \frac{2\alpha Q}{L^2}, \quad (110)$$

где постоянный коэффициент  $\alpha$  определяется формой предвестника.

Пусть  $F$  — "запас прочности", то есть минимально допустимое отношение напряжённостей  $E_+$  и  $E_p$ , определяемое требуемыми характеристиками ускорителя. Тогда длина и заряд сгустка должны удовлетворять неравенству

$$\frac{8\pi Q\omega_p}{Lc} > F \cdot \frac{2\alpha Q}{L^2} \cdot \exp \left( \frac{A\omega_p}{ne a^2 c} \right)$$

или<sup>11</sup>

$$\frac{Q}{e} < \frac{na^2 c}{A\omega_p} \ln \left( \frac{4\pi\omega_p L}{\alpha c F} \right) \sim 25 n \frac{a^2 c}{\omega_p}. \quad (111)$$

<sup>11</sup>Численные оценки сделаны для  $A = 0.2$ ,  $a = c/\omega_p$ ,  $L\omega_p/c = 100$ ,  $F = 100$ ,  $\alpha = 0.1$ .

Таким образом, рассмотренная неустойчивость ограничивает количество частиц ведущего сгустка, и это ограничение почти не зависит от длины сгустка, формы предвестника и требуемого "запаса прочности". Заметим, что максимально допустимый заряд ведущего сгустка убывает с ростом плотности плазмы.

Условие (111) можно переписать в виде ограничения на полезное ускоряющее поле:

$$eE_+ < eE_{+,max} \equiv \frac{8\pi ne^2 a^2}{AL} \ln \left( \frac{4\pi\omega_p L}{\alpha c F} \right) \sim \frac{50 mc^2}{L} \approx \frac{25 \text{ МэВ}}{L}. \quad (112)$$

При постоянном отношении

$$N_L = \frac{L\omega_p}{2\pi c} \quad (113)$$

поле  $E_{+,max}$  с увеличением плотности плазмы растёт:

$$eE_{+,max} = \frac{4ne^2 a^2 \omega_p}{AN_L c} \ln \left( \frac{4\pi\omega_p L}{\alpha c F} \right) \sim \frac{8 m\omega_p c}{N_L}. \quad (114)$$

Как следует из сравнения формул (108) и (114), накладываемые неустойчивостью ограничения становятся существенными при условии

$$N_L \gtrsim \frac{a^2 \omega_p^2}{\pi A c^2} \ln \left( \frac{4\pi\omega_p L}{\alpha c F} \right) \sim 8. \quad (115)$$

Обратимся теперь к схеме ускорения с инъекцией последовательности сгустков. В этом случае поступательное движение электронов плазмы будет лишь малой добавкой к движению колебательному. Поэтому перенесение на данную схему результатов исследования введённой в разделе 2 модели, строго говоря, неправомерно даже на качественном уровне.

В то же время имеется экспериментально наблюдаемый эффект, который мог бы быть объяснён неустойчивостью неоднородного течения, если предположить, что таковая существует и имеет инкремент порядка  $A\omega_p v_z/c$ . В работе [13] обнаружено, что линейный рост ускоряющего поля  $E_{z+}$  после прохождения  $(4 \div 5) \cdot 10^3$  сгустков сменяется быстрым убыванием. Параметры плазмы и сгустков в описанном эксперименте были следующими:

плотность плазмы,  $n_p$  :  $10^{11} \text{ см}^{-3}$ ;

число электронов в сгустке,  $N_{b0}$  :  $2 \cdot 10^9$ ;

размеры сгустка: длина,  $l_0$ :

радиус,  $r_0$ :

число сгустков,  $N_{max}$ :

средняя плотность сгустков,  $\bar{n}_b \sim \frac{N_{b0}\omega_p}{\pi r_0^2 \cdot 2\pi c}$ :

$$1.7 \text{ см} = c/\omega_p;$$

$$0.5 \text{ см} = 0.3 c/\omega_p;$$

$$6 \cdot 10^3;$$

$$2.4 \cdot 10^8 \text{ см}^{-3}.$$

Пусть первый сгусток возбуждает позади себя кильватерное поле напряжённости  $E_0$ . Тогда после прохождения  $N$  сгустков "полезное" и "паразитное" поля будут, соответственно, равны

$$E_+ = NE_0, \quad (116)$$

$$E_p = \alpha E_0 \exp\left(\frac{2\pi N \bar{\gamma}}{\omega_p}\right), \quad (117)$$

где  $\bar{\gamma}$  — усреднённое по длине последовательности сгустков значение инкремента.

Если причиной резкого убывания ускоряющего поля является развитие неустойчивости, то из условия  $E_+ = FE_p$  можно найти её инкремент:

$$\bar{\gamma} = \frac{\omega_p}{2\pi N} \ln \frac{N}{\alpha F}. \quad (118)$$

Подставляя в качестве  $N$  значение  $5 \cdot 10^3$  и полагая логарифм равным 8 ( $\alpha F = 0.6$ ), имеем

$$\bar{\gamma} = 2.5 \cdot 10^{-4} \omega_p. \quad (119)$$

С другой стороны, скорость поступательного движения электронов плазмы можно оценить как

$$v_z \sim G^* \frac{\bar{n}_b}{n_p} \cdot \frac{r_0^2 \omega_p^2}{c^2} \cdot c \sim 8.5 \cdot 10^{-4} c. \quad (120)$$

Здесь  $G^*$  — коэффициент увеличения тока, появление которого обусловлено эффектом увлечения электронов плазмы полем сгустков<sup>12</sup> (подробнее см. [13]). Следуя [13], положим  $G^* = 4$ . Множитель  $r_0^2 \omega_p^2 / c^2$  введён, поскольку движение происходит в более широком, нежели сгустки, слое плазмы.

Сравнение (119) и (120) даёт

$$\bar{\gamma} \approx 0.3 \omega_p \frac{v_z}{c}. \quad (121)$$

<sup>12</sup> Соответственно, скорость усреднённого поступательного движения будет знакопеременной функцией от  $r$ .

Таким образом, для разрушения регулярного ускоряющего поля после прохождения

$5 \cdot 10^3$  сгустков требуется неустойчивость с таким же, как у рассмотренной неустойчивости неоднородного течения электронов, инкрементом.

В пользу существования неустойчивости говорит также тот факт, что ускоренные частицы на выходе кильватерного ускорителя наблюдались в [13] только в момент начала уменьшения  $E_{z+}$ . Действительно, поскольку пробные частицы не вносились в плазму извне, ими могли стать только плазменные электроны, выпавшие из общего согласованного движения под действием развитой неустойчивости.

Всё сказанное выше о схеме с инжекцией последовательности сгустков, конечно же, не является доказательством существования неустойчивости, аналогичной неустойчивости неоднородного течения электронов в случае инжекции "треугольного" сгустка. Однако полученные результаты свидетельствуют о необходимости исследовать эту схему ускорения на предмет наличия такой неустойчивости.

## 8 Приложения

### 8.1 Приложение 1: Обобщение уравнения Рэлея на случай цилиндрической геометрии задачи

Уравнения движения идеальной жидкости, из которых в частном случае плоскопараллельного течения следует уравнение Рэлея (50), имеют вид (см., например, [10], [12])

$$\frac{d\vec{v}_1}{dt} = -\frac{\nabla p_1}{\rho}, \quad (122)$$

$$\operatorname{div} \vec{v}_1 = 0. \quad (123)$$

Уравнения же, в которые переходит система (6) – (9) после вытекающих из (23), (36) и (46) упрощений, отличаются от (122), (123) лишь заменой возмущения давления  $p_1$  на возмущение электростатического потенциала  $\varphi_1$  и изменением постоянного множителя  $\rho^{-1}$  на  $(-e/m)$ :

$$\frac{d\vec{v}_1}{dt} = -\frac{e}{m} \vec{E}_1 = \frac{e}{m} \nabla \varphi_1, \quad (124)$$

$$\operatorname{div} \vec{v}_1 = 0. \quad (125)$$

На основании замеченного сходства и делается заключение о том, что уравнение (49), являющееся прямым следствием системы (124), (125),

описывает также возмущения неоднородного течения жидкости. Роль переменной  $\psi$  в этом случае играет величина

$$\psi = \frac{1}{\Omega} \frac{\partial^2 p_1}{\partial r \partial z} = \frac{ik}{\Omega} \frac{\partial p_1}{\partial r}. \quad (126)$$

В принципе, уравнение (49) (или эквивалентное ему (47)) может быть получено из системы (122), (123) и непосредственным образом. Применяя к уравнению (122) операцию  $\text{rot}$  для возмущений вида (12), имеем

$$\frac{il}{r} \left( \Omega \tilde{v}_z + i \frac{\partial v_z}{\partial r} \tilde{v}_r \right) - ik \Omega \tilde{v}_\varphi = 0, \quad (127)$$

$$ik \Omega \tilde{v}_r - \frac{\partial}{\partial r} \left( \Omega \tilde{v}_z + i \frac{\partial v_z}{\partial r} \tilde{v}_r \right) = 0, \quad (128)$$

$$\frac{1}{r} \frac{\partial}{\partial r} r \Omega \tilde{v}_\varphi - \frac{il \Omega}{r} \tilde{v}_r = 0, \quad (129)$$

$$\frac{1}{r} \frac{\partial}{\partial r} r \tilde{v}_r + \frac{il}{r} \tilde{v}_\varphi + ik \tilde{v}_z = 0. \quad (130)$$

Обозначая

$$y = \Omega \tilde{v}_z + i \frac{\partial v_z}{\partial r} \tilde{v}_r = - \frac{i}{\rho} \frac{\partial p_1}{\partial z} \quad (131)$$

и опуская уравнение (129) как следствие (127), (128), преобразуем систему (127) – (130):

$$\Omega \tilde{v}_r = \frac{1}{ik} \frac{\partial y}{\partial r}, \quad \Omega \tilde{v}_\varphi = \frac{l}{kr} y, \quad (132)$$

$$\frac{1}{r} \frac{\partial}{\partial r} r \frac{\partial y}{\partial r} - \frac{2\Omega'}{\Omega} \frac{\partial y}{\partial r} - \left( k^2 + \frac{l^2}{r^2} \right) y = 0. \quad (133)$$

Как легко убедиться, последнее уравнение эквивалентно (47).

Для уравнения (49) оказывается возможным доказать ряд утверждений в точности так же, как это делается в [11], [12] для уравнения Рэлея. Поскольку эти результаты могут представлять самостоятельный интерес, приведём их доказательства в общем случае произвольных  $l$  (хотя к кильватерному ускорению применим лишь случай  $l = 0$ ).

### 8.1.1 Необходимое условие неустойчивости

Введём обозначения

$$f = \left( k^2 + \frac{l^2}{r^2} \right)^{-1} = \frac{r^2}{k^2 r^2 + l^2}, \quad F = f \left( \Omega'' - \frac{\Omega'}{r} \right) + f' \Omega', \quad (134)$$

позволяющие переписать (49) в более компактной форме:

$$\frac{1}{r} \frac{\partial}{\partial r} r f \psi' - \frac{f}{r^2} \psi + \frac{f'}{r} \psi - \frac{F}{\Omega} \psi - \psi = 0. \quad (135)$$

Домножим (135) на  $\psi^*$  и вычтем из полученного результата комплексно-сопряжённое выражение:

$$\frac{1}{r} \frac{\partial}{\partial r} r f \left( \psi^* \frac{\partial \psi}{\partial r} - \psi \frac{\partial \psi^*}{\partial r} \right) = \left( \frac{1}{\Omega} - \frac{1}{\Omega^*} \right) F \psi \psi^*. \quad (136)$$

При интегрировании (136) по  $r^2$  от нуля до бесконечности левая часть равенства обращается в нуль. Правая же даёт

$$\int_0^\infty \frac{4i \operatorname{Im} \omega}{|\Omega|^2} F |\psi|^2 r dr = 0. \quad (137)$$

Интеграл (137) при  $\operatorname{Im} \omega \neq 0$  может обратиться в нуль, лишь если функция  $F(r)$  знакопеременна, а значит, обращается в нуль в какой-то точке  $r_0$  (назовём её точкой “перегиба”). Отсюда следует необходимое условие неустойчивости:

$$v_z'' - \frac{v_z'}{r} \left( 1 - \frac{2l}{k^2 r^2 + l^2} \right) = 0 \quad \text{при} \quad r = r_0 \neq 0. \quad (138)$$

Поскольку при  $l \neq 0$  в условие (138) входит параметр  $k$ , гарантировать условие неустойчивости можно только в том случае, если при любом  $r$  выражения

$$v_z'' - \frac{v_z'}{r} \quad \text{и} \quad v_z'' + \frac{v_z'}{r} \quad (139)$$

имеют один и тот же знак.

### 8.1.2 Неизбежность выполнения резонансного условия в случае нейтральных колебаний

По аналогии с [11], [12] введём новую функцию  $\tilde{\psi} = \psi/\Omega$ , для которой уравнение (135) принимает вид

$$\frac{\partial}{\partial r} \frac{f\Omega^2}{r} \frac{\partial}{\partial r} r\tilde{\psi} - \Omega^2 \tilde{\psi} = 0. \quad (140)$$

(Это уравнение легче всего получить из (47), заметив, что  $\tilde{\psi} = \tilde{E}'_z/\Omega^2$ ). Домножая (140) на  $r\tilde{\psi}^*$  и интегрируя по частям, получаем

$$\begin{aligned} & \int_0^\infty \left( r\tilde{\psi}^* \frac{\partial}{\partial r} \frac{f\Omega^2}{r} \frac{\partial}{\partial r} r\tilde{\psi} - \Omega^2 r\tilde{\psi}^* \tilde{\psi} \right) dr = \\ & = - \int_0^\infty \Omega^2 \left( \frac{f}{r} \left| \frac{\partial r\tilde{\psi}}{\partial r} \right|^2 + r|\tilde{\psi}|^2 \right) dr = 0. \end{aligned} \quad (141)$$

Из выражения для мнимой части (141),

$$\operatorname{Im} \omega \int_0^\infty (Re \omega - kv_z) \left( \frac{f}{r} \left| \frac{\partial r\tilde{\psi}}{\partial r} \right|^2 + r|\tilde{\psi}|^2 \right) dr = 0, \quad (142)$$

находим, что при  $\operatorname{Im} \omega \neq 0$  на некотором радиусе  $r_s$  должно выполняться равенство

$$Re \omega = kv_z(r_s). \quad (143)$$

Если нейтральные колебания рассматривать как предел колебаний с  $\operatorname{Im} \omega \neq 0$ , то из (143) заключаем, что колебания с  $\operatorname{Im} \omega = 0$  могут существовать, лишь если в какой-то точке выполнено резонансное условие  $\omega = kv_z(r)$ .

### 8.1.3 Совпадение резонансной точки нейтральных колебаний с точкой "перегиба" в случае монотонного профиля скорости

Обратимся к формуле (137). При устремлении  $\operatorname{Im} \omega$  к нулю (так, что  $\operatorname{Im} \omega > 0$ ) интеграл в (137) переходит в сумму вкладов от резонансных точек  $r_s^i$ :

$$\lim_{\operatorname{Im} \omega \rightarrow 0} \int_0^\infty \frac{4i \operatorname{Im} \omega}{(Re \omega - kv_z)^2 + (\operatorname{Im} \omega)^2} F|\psi|^2 r dr =$$

$$= \int_0^\infty 4\pi i \delta(Re \omega - kv_z) F|\psi|^2 r dr = \frac{4\pi i}{k} \sum_{r=r_s^i} F \frac{|\psi|^2 r}{v'_z} = 0. \quad (144)$$

Такая сумма может обратиться в нуль либо при взаимной компенсации вкладов от нескольких точек, либо при тождественном равенстве нулю всех слагаемых в (144). В случае монотонного профиля скорости с единственной резонансной точкой может осуществляться только вторая возможность, откуда и следует необходимость выполнения равенства (138) в этой точке.

### 8.1.4 Поведение дисперсионной кривой вблизи точки нейтральных колебаний в случае аксиально-симметричных возмущений

При  $l = 0$  уравнение (49) существенно упрощается:

$$\psi'' + \frac{\psi'}{r} - k^2 \psi - \frac{\psi}{r^2} = \frac{\psi}{\Omega} \left( \Omega'' - \frac{\Omega'}{r} \right). \quad (145)$$

Переходя к новой функции  $z(r)$ ,

$$z(r) = \sqrt{r} \psi(r), \quad (146)$$

избавимся от первой производной:

$$z'' - k^2 z - \frac{3}{4r^2} z - \left( \Omega'' - \frac{\Omega'}{r} \right) \frac{z}{\Omega} = 0. \quad (147)$$

Можно показать, что если уравнение (147) при некотором  $k = k_0$  допускает существование незатухающих колебаний, то при значениях  $k$ , несколько меньших  $k_0$  ( $k = k_0 - \Delta k$ ;  $|\Delta k| \ll k_0$ ), существуют как нарастающие ( $\operatorname{Im} \omega > 0$ ), так и затухающие ( $\operatorname{Im} \omega < 0$ ) колебания. При значениях же  $k$ , несколько больших  $k_0$ , не существует решений  $\omega(k)$ , таких что  $\lim_{k \rightarrow k_0} (\omega(k) - \omega(k_0)) = 0$  ([12], п. 1.5). Доказательство этого факта аналогично доказательству, приведённому в [11] для уравнения Рэлея, если учесть, что

$$\lim_{r \rightarrow r_0} \frac{v''_z(r) - v'_z(r)/r}{v_z(r) - v_z(r_0)} = \frac{v'''_z(r_0)}{v'_z(r_0)}. \quad (148)$$

## 8.2 Приложение 2: Об отсутствии неустойчивых колебаний при больших $k$

Покажем, что уравнение (45) не имеет решений с  $|\omega|$ , много меньшими  $\omega_p$ , при условиях (62), (63). Пренебрегая в уравнении (49) малыми членами на основании неравенств (62) и (63), имеем

$$\psi'' + \frac{\psi'}{r} - k^2 \psi = \frac{\psi}{\Omega} \left( \Omega'' - \frac{\Omega'}{r} \right). \quad (149)$$

Оценим правую часть уравнения (149):

$$\Omega'' - \frac{\Omega'}{r} \sim \frac{kv_0}{b^2} - \frac{kv_0}{br_0} \sim \frac{kv_0}{b^2},$$

$$\frac{\psi}{\Omega} \left( \Omega'' - \frac{\Omega'}{r} \right) \sim \frac{v_0}{b^2 |\omega/k - v_z(r)|} \psi. \quad (150)$$

Она будет существенно влиять на поведение решения (149) только при условии

$$k^2 \leq \frac{v_0}{b^2 |\omega/k - v_z(r)|} \iff \left| \frac{\omega}{k} - v_z(r) \right| \leq \frac{v_0}{k^2 b^2} \ll v_0, \quad (151)$$

которое выполнено на промежутке длины

$$\delta r \sim \frac{v_0}{v_z' k^2 b^2} \sim \frac{1}{k^2 b} \ll \frac{1}{k} \quad (152)$$

в окрестности резонансной точки  $r_*$  (такой, что  $v_z(r_*) = Re \omega/k$ ).

Таким образом, решение (149), если оно существует, должно состоять из двух экспонент (получающихся при пренебрежении правой частью (149)), сшитых в узкой резонансной области  $\delta r$  (см. рис.16).

Производная  $\psi'$  может так резко измениться только в том случае, если вблизи резонансной точки правая часть (149) существенно превосходит  $k^2 \psi$ . Следовательно, в окрестности  $r_*$  можно записать:

$$\psi'' = \frac{v_z''(r_*) - v_z'(r_*)/r_*}{v_z(r) - \omega/k} \psi = \frac{g}{r - r_* + i\gamma_*} \psi, \quad (153)$$

где

$$\gamma_* = -\frac{Im \omega}{v_z'(r_*)}, \quad g = \frac{v_z''(r_*) - v_z'(r_*)/r_*}{v_z'(r_*)} \sim \frac{1}{b}. \quad (154)$$

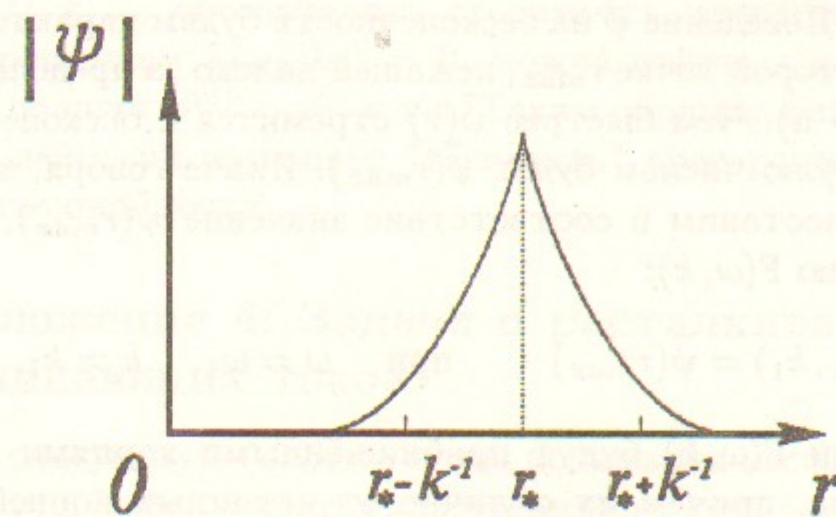


Рис. 16:

Решения (153) выражаются через функции Бесселя (см., например, [18]):

$$\psi = \sqrt{r - r_* + i\gamma_*} Z_1(2\sqrt{-g} \sqrt{r - r_* + i\gamma_*}). \quad (155)$$

В силу оценки (154) характерный масштаб изменения решений (155) есть величина порядка  $b$ , поэтому никакой комбинацией функций вида (155) две экспоненты на отрезке  $\delta r \sim b/(kb)^2$  не могут быть сшиты<sup>13</sup>. Отсюда заключаем, что в предположениях (62), (63) решения уравнения (45) с  $|\omega| \ll \omega_p$  отсутствуют.

## 8.3 Приложение 3: Построение дисперсионной кривой $\omega(k)$ численным методом

Описываемая ниже процедура основана на предположении о непрерывности дисперсионной кривой:

$$\lim_{k_2 \rightarrow k_1} (\omega(k_2) - \omega(k_1)) = 0. \quad (156)$$

Рассмотрим, например, уравнение (145). Если взять некоторые произвольные значения  $\omega$  и  $k$  и решить с помощью известного численного метода (например, метода Рунге-Кутта, [19]) задачу Коши для уравнения (145) с надлежащими начальными условиями в нуле ( $\psi(0) = 0, \psi'(0) = 1$ ),

<sup>13</sup>Это утверждение можно доказать более строго, выписав решение (149) вблизи резонансной точки в виде ряда (см., например, [19]).

то получившаяся функция  $\tilde{\psi}(r)$ , вообще говоря, при  $r \rightarrow \infty$  к нулю стремиться не будет. Поведение  $\tilde{\psi}$  на бесконечности будем характеризовать её значением в некоторой точке  $r_{max}$ , лежащей далеко за пределами области течения ( $r_{max} \gg a$ ). Чем быстрее  $\tilde{\psi}(r)$  стремится к бесконечности, тем большим по модулю числом будет  $\tilde{\psi}(r_{max})$ . Иначе говоря, каждой паре значений  $(\omega, k)$  поставим в соответствие значение  $\tilde{\psi}(r_{max})$ , тем самым построив функцию  $F(\omega, k)$ :

$$F(\omega_1, k_1) = \tilde{\psi}(r_{max}) \quad \text{при } \omega = \omega_1, \quad k = k_1. \quad (157)$$

Нули функции  $F(\omega, k)$  будут приближёнными корнями дисперсионного соотношения, причём их отличие от истинных корней будет тем меньше, чем точнее мы построим функцию  $\tilde{\psi}(r)$ .

Остаётся проблема при заданном  $k$  найти на комплексной плоскости ( $Re \omega, Im \omega$ ) нуль  $\omega_0$  функции  $F(\omega, k)$ , и эту проблему предположение (156) помогает решить следующим образом. Если нам из каких-то дополнительных соображений приближённо известно местоположение нуля (то есть, известно, что  $\omega^{(1)} \approx \omega_0$ ), то можно отыскать  $\omega_0$  последовательными итерациями с помощью следующего алгоритма.

1. Выбирается начальный шаг итераций  $\epsilon$  (подбирается экспериментально).
2. Определяется направление и шаг “спуска”:

$$\begin{aligned} \Delta\omega^{(i)} &= -\epsilon \arg \left( \frac{F(\omega^{(i)}, k)}{\partial F(\omega^{(i)}, k) / \partial \omega^{(i)}} \right) \sim \\ &\sim -\epsilon \arg \left( \frac{F(\omega^{(i)}, k) \cdot 0.1\epsilon}{F(\omega^{(i)} + 0.1\epsilon, k) - F(\omega^{(i)}, k)} \right). \end{aligned} \quad (158)$$

3. Вычисляется  $F(\omega^{(i)} + \Delta\omega^{(i)}, k)$ ,  $F(\omega^{(i)} + 2\Delta\omega^{(i)}, k)$  и так далее, пока при  $\omega = \omega^{(i)} + N\Delta\omega^{(i)}$  не будет достигнуто минимальное по модулю значение.
4. Уменьшается шаг  $\epsilon$ ;  $\omega^{(i+1)}$  полагается равным  $\omega^{(i)} + N\Delta\omega^{(i)}$ .
5. Последовательность операций 2 – 4 повторяется до тех пор, пока решение не будет найдено с требуемой точностью (определенной  $\epsilon$ ).

Близость  $\omega^{(1)}$  к  $\omega_0$  обеспечивает сходимость итераций именно к  $\omega_0$ . Располагая решением  $F(\omega_0, k_0) = 0$ , можно найти  $\omega$  для  $k = k_0 + \Delta k$  ( $|\Delta k| \ll k_0$ ), полагая  $\omega^{(1)} = \omega_0$ , и т.д. Таким образом, описанная последовательность действий позволяет “вытянуть” дисперсионную кривую из одной единственной точки.

#### 8.4 Приложение 4: Задача о расталкивании взаимопроникающих токов

Рассмотрим следующую (полезную для понимания исследуемой неустойчивости) задачу. Пусть имеются два цилиндрических электронных пучка радиуса  $R_0$  и плотности  $n$ . Пучки двигаются навстречу друг другу со скоростями  $\vec{v}$  и  $-\vec{v}$ , причём расстояние между их осями равно  $\xi$  ( $\xi \ll R_0$ ). Требуется определить силу, с которой собственное магнитное поле пучков действует на частицы одного из них.

Введём декартову систему координат так, как показано на рисунке 17. В точке, отстоящей от осей пучков на расстояния  $r_1$  и  $r_2$  соответственно, каждый из пучков в отдельности создаёт поле

$$H_i = |\vec{H}_i| = \frac{2\pi r_i j}{c}, \quad i = 1, 2, \quad (159)$$

где  $j = |\vec{j}_i| = ne|\vec{v}|$  — плотность тока пучка. Суммарное же поле обоих пучков  $\vec{H} = \vec{H}_1 + \vec{H}_2$  будет направлено по оси  $y$  (см. рис. 17), поскольку

$$H_x = H_1 \sin \alpha_1 - H_2 \sin \alpha_2 = \frac{2\pi j}{c} (r_1 \sin \alpha_1 - r_2 \sin \alpha_2) = 0, \quad (160)$$

$$H_y = H_1 \cos \alpha_1 - H_2 \cos \alpha_2 = \frac{2\pi j}{c} (r_1 \cos \alpha_1 - r_2 \cos \alpha_2) = \frac{2\pi j \xi}{c}. \quad (161)$$

Это поле будет действовать на каждую из частиц первого пучка с одинаковой силой

$$F_x = \frac{j|\vec{H}|}{nc} = \frac{2\pi j^2 \xi}{nc^2}, \quad (162)$$

направленной по оси  $x$ .

Предположим теперь, что второй пучок имеет скорость  $c$  (является ультрапараллельным) и плотность  $n_b = nv/c \ll n$ , так что плотность тока в нём по-прежнему равна  $j = ne|\vec{v}|$ . Также предположим, что объёмные заряды пучков скомпенсированы неподвижными ионами (вследствие чего электростатическое взаимодействие пучков отсутствует), а пространство вокруг пучков заполнено плазмой плотности

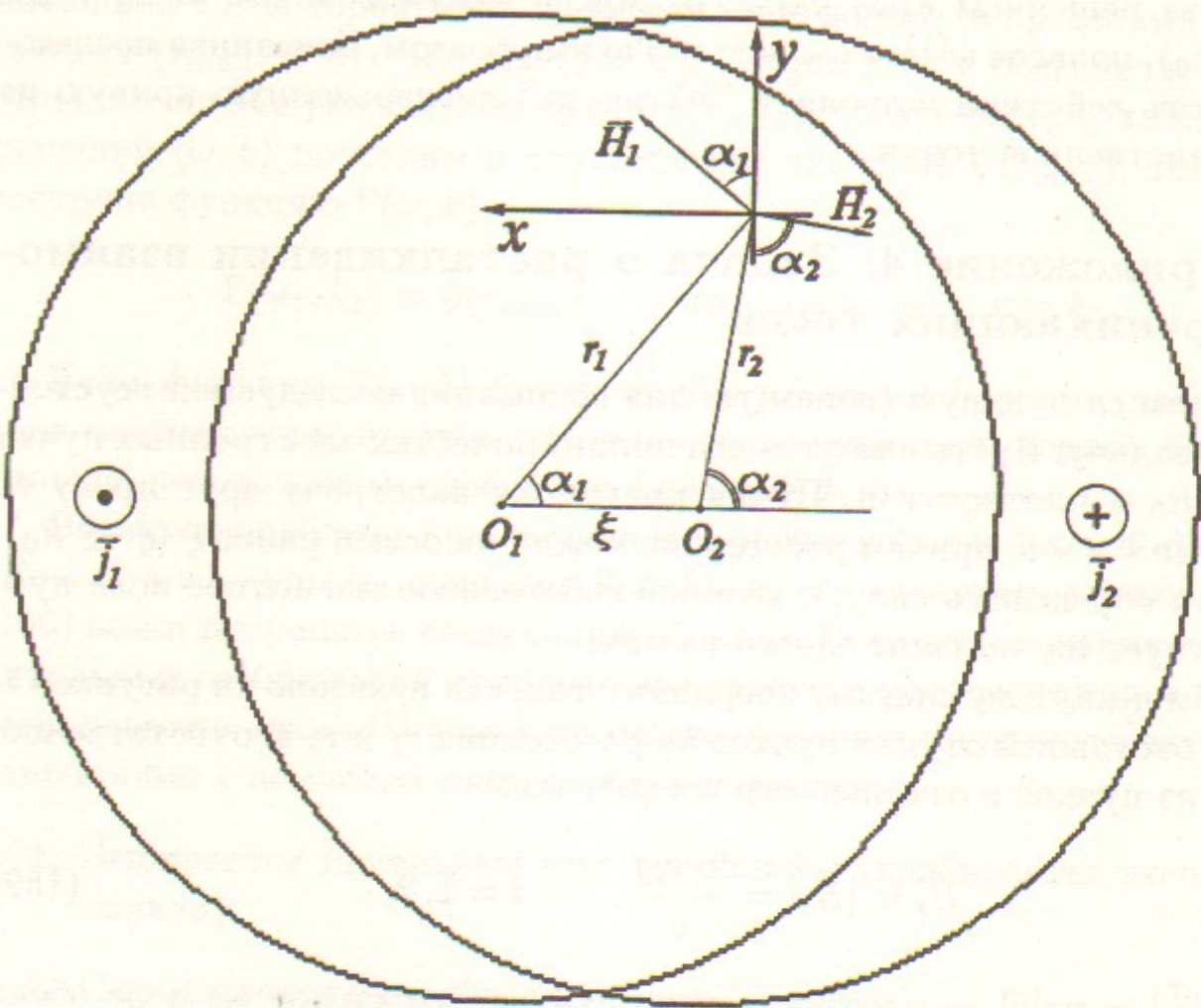


Рис. 17:

$n + n_b$ , причём  $R_0 \ll c/\omega_p$  (что позволяет пренебречь экранировкой поля плазмой). Тогда под действием силы (162) первый пучок будет двигаться с ускорением

$$\ddot{\xi} = \frac{F_x}{2m} = \frac{\pi j^2 \xi}{mnc^2}. \quad (163)$$

Появление двойки в знаменателе (163) связано с эффектом присоединённой массы, поскольку смещение первого (много более плотного) пучка сопровождается смещением электронов окружающей плазмы.

Движение по закону (163) может быть интерпретировано как развитие неустойчивости с инкрементом

$$\gamma_0 = \sqrt{\frac{\pi j^2}{mnc^2}} = \sqrt{\frac{\pi nv^2 e^2}{mc^2}} = \frac{\omega_p v}{2c}. \quad (164)$$

Полученное выражение совпадает с (96) в случае  $l = 1$ ,  $r_0\omega_p/c \ll 1$ . Отсюда можно заключить, что при малых  $k$  движущей силой исследуемой в настоящей работе неустойчивости является расталкивание токов плазмы и ведущего сгустка.

### 8.5 Приложение 5: Уравнения возмущений при $k = 0$ (общий случай)

В настоящем Приложении система (13) – (22) будет сведена к двум уравнениям относительно переменных  $\tilde{E}_z$  и  $\tilde{H}_z$ . При этом будут использованы только два упрощающих предположения, а именно,  $k = 0$  и  $|\vec{v}| \ll c$  ( $\gamma = 1$ ).

Опуская в (13) – (22) содержащие  $k$  слагаемые, имеем

$$\frac{il}{r}\tilde{H}_z = -\frac{4\pi e}{c}n\tilde{v}_r - \frac{\omega}{c}\tilde{E}_r, \quad (165)$$

$$\frac{\partial \tilde{H}_z}{\partial r} = \frac{4\pi e}{c}n\tilde{v}_\varphi + \frac{\omega}{c}\tilde{E}_\varphi, \quad (166)$$

$$\frac{1}{r}\frac{\partial}{\partial r}r\tilde{H}_\varphi - \frac{il}{r}\tilde{H}_r = -\frac{4\pi e}{c}n\tilde{v}_z - \frac{4\pi e}{c}\tilde{n}v_z - \frac{\omega}{c}\tilde{E}_z, \quad (167)$$

$$\tilde{H}_r = \frac{lc}{\omega r}\tilde{E}_z, \quad (168)$$

$$\tilde{H}_\varphi = \frac{ic}{\omega}\frac{\partial \tilde{E}_z}{\partial r}, \quad (169)$$

$$\frac{1}{r}\frac{\partial}{\partial r}r\tilde{E}_\varphi - \frac{il}{r}\tilde{E}_r = \frac{\omega}{c}\tilde{H}_z, \quad (170)$$

$$\tilde{n} = \frac{1}{i\omega r}\frac{\partial}{\partial r}rn\tilde{v}_r + \frac{l}{\omega r}n\tilde{v}_\varphi, \quad (171)$$

$$\tilde{v}_r = \frac{e}{im\omega}\tilde{E}_r + \frac{i\epsilon v_z}{m\omega c}\tilde{H}_\varphi, \quad (172)$$

$$\tilde{v}_\varphi = \frac{e}{im\omega}\tilde{E}_\varphi - \frac{i\epsilon v_z}{m\omega c}\tilde{H}_r, \quad (173)$$

$$\tilde{v}_z = \frac{e}{im\omega}\tilde{E}_z + \frac{1}{\omega}\frac{\partial v_z}{\partial r}\tilde{v}_r. \quad (174)$$

Исключим переменные  $\tilde{v}_r$ ,  $\tilde{v}_\varphi$ ,  $\tilde{v}_z$  и  $\tilde{n}$ , выразив их с помощью (171) – (174) через поля, вследствие чего уравнения (165) – (167) примут вид

$$\frac{il}{r}\tilde{H}_z = \frac{\omega_p^2}{\omega c}\tilde{E}_r - \frac{\omega_p^2 v_z}{\omega c^2}\tilde{H}_\varphi, \quad (175)$$

$$\frac{\partial \tilde{H}_z}{\partial r} = \frac{\omega_p^2}{\omega c} \tilde{E}_\varphi + \frac{\omega_p^2 v_z}{\omega c^2} \tilde{H}_r, \quad (176)$$

$$\begin{aligned} \frac{1}{r} \frac{\partial}{\partial r} r \tilde{H}_\varphi - \frac{il}{r} \tilde{H}_r &= \frac{\omega_p^2}{\omega c} \tilde{E}_z - \frac{\omega_p^2 v_z}{\omega^2 c^2} \frac{\partial v_z}{\partial r} \tilde{H}_\varphi + \frac{\omega_p^2}{\omega^2 c} \frac{\partial v_z}{\partial r} \tilde{E}_r - \frac{\omega}{c} \tilde{E}_z + \\ &+ \frac{v_z}{\omega^2 c r} \frac{\partial}{\partial r} r \omega_p^2 \tilde{E}_r - \frac{v_z}{\omega^2 c^2 r} \frac{\partial}{\partial r} r \omega_p^2 v_z \tilde{H}_\varphi + \frac{il \omega_p^2 v_z}{\omega^2 c r} \tilde{E}_\varphi + \frac{il \omega_p^2 v_z^2}{\omega^2 c^2 r} \tilde{H}_r. \end{aligned} \quad (177)$$

Подчеркнём, что здесь величина  $\omega_p^2$  зависит от радиуса, и потому не может быть вынесена из под знака производной.

Следующим шагом выразим  $\tilde{E}_r$  и  $\tilde{E}_\varphi$  через  $\tilde{E}_z$  и  $\tilde{H}_z$ . Для этого воспользуемся уравнениями (175), (176), (168) и (169):

$$\tilde{E}_r = \frac{lv_c}{\omega_p^2 r} \tilde{H}_z + \frac{iv_z}{\omega} \frac{\partial \tilde{E}_z}{\partial r}, \quad (178)$$

$$\tilde{E}_\varphi = -\frac{lv_z}{\omega r} \tilde{E}_z + \frac{iwc}{\omega_p^2} \frac{\partial \tilde{H}_z}{\partial r}. \quad (179)$$

Наконец, используя выражения для полей (168), (169), (178) и (179), из уравнений (177) и (170) получаем искомую систему:

$$\frac{1}{r} \frac{\partial}{\partial r} r \frac{\partial \tilde{E}_z}{\partial r} - \left( \frac{\omega_p^2 + \omega^2}{c^2} + \frac{l^2}{r^2} \right) \tilde{E}_z + \frac{ilv_z'}{cr} \tilde{H}_z = 0, \quad (180)$$

$$\frac{\omega_p^2}{r} \frac{\partial}{\partial r} \frac{r}{\omega_p^2} \frac{\partial \tilde{H}_z}{\partial r} - i \left( \frac{\omega_p^2}{c^2} + \frac{l^2}{r^2} \right) \tilde{H}_z - \frac{il \omega_p^2 v_z'}{\omega^2 c r} \tilde{E}_z = 0. \quad (181)$$

Сравнение (180), (181) с аналогичной системой (81), (82) показывает, что учёт слабой зависимости плотности электронов плазмы  $n$  от  $r$  не может привести к существенному изменению картины неустойчивости, поскольку эти системы различаются лишь малыми членами, не стоящими перед старшими производными.

## Список литературы

- [1] Joshi C., Mori W. B. et al. Ultrahigh gradient particle acceleration by intense laser-driven plasma density waves. — Nature, 1984, v. 311, p. 525 – 529.
- [2] Dawson J. M. Plasma Accelerators and Lenses. — Plasma Physics and Controlled Fusion, 1992, v. 34, N 13, p. 2039 – 2046.
- [3] Wurtele J. S. The role of plasma in advanced accelerators. — Phys. Fluids B, 1993, v. 5, N 7, p. 2363 – 2370.
- [4] Chen P., Su J. J. et al. Energy Transfer in a Plasma Wake-Field Accelerator. — Phys. Rev. Lett., 1986, v. 56, N 12, p. 1252 – 1255.
- [5] Katsouleas T. Physical mechanism in the plasma wake-field accelerator. — Phys. Rev. A., 1986, v. 33, N 3, p. 2056 – 2064.
- [6] Ruth R. D., Chao A. W., Morton P. L., Wilson P. B. A Plasma Wake-Field Accelerator. — Part. Accel., 1985, v. 17, N 3–4, p. 171 – 189.
- [7] Breizman B. N., Chebotaev P. Z. et al. A Proposal for the Experimental Study of Plasma Wake-Field Acceleration at the “BEP” Electron Storage Ring. — In: Proc. 8th Intern. Conf. on High-Power Particle Beams, Novosibirsk, 1990, v. 1, p. 272 – 279.
- [8] Chen P., Dawson J. M., Huff R. W., Katsouleas T. Acceleration of Electrons by the Interaction of a Bunched Electron Beam with a Plasma. — Phys. Rev. Lett., 1985, v. 54, N 7, p. 693 – 708.
- [9] Рухадзе А. А., Богданович Л. С., Росинский С. Е., Рухлин В. Г. Физика сильноточных релятивистских пучков. М.: Атомиздат, 1980.
- [10] Ландау Л. Д., Либшиц Е. М. Гидродинамика. М.: Наука, 1988.
- [11] Lin C. C. The Theory of Hydrodynamic stability. Cambridge, 1955. Линь Цзя-Цзяо. Теория гидродинамической устойчивости. М.: Издво иностр. лит., 1958.
- [12] Тимофеев А. В. Резонансные эффекты в колебаниях неоднородных течений сплошных сред. — В сб.: Вопросы теории плазмы (Под ред. Б. Б. Кадомцева). М.: Атомиздат, 1989, вып. 17, с. 157 – 244.

- [13] Березин А. К., Киселёв В. А. и др. Экспериментальные исследования возбуждения кильватерных полей в плазме периодической последовательностью сгустков релятивистских частиц. — Препринт ХФТИ 91 – 45, Харьков: ХФТИ, 1991.
- [14] Михайловский А. Б. Теория плазменных неустойчивостей, т. 1. М.: Атомиздат, 1970.
- [15] Nakajima K., Enomoto A. et al. Plasma Wake-Field Accelerator Experiments at KEK. — Nuclear Instrument and Method in Phys. Res. A, 1990, v. 292, N 1, p. 12 – 20.  
Ogata A. Plasma Lens and Wake Experiments in Japan. — In: Advanced Accelerator Concepts, AIP Conf. Proc. 279, American Institute of Physics, New York, 1992, p. 420 – 449.
- [16] Bechtenev A. A., Breizman B. N. et al. On the Possibility for Experiments on Plasma Wake-Field Acceleration in Novosibirsk. — In: Advanced Accelerator Concepts, AIP Conf. Proc. 279, American Institute of Physics, New York, 1992, p. 466 – 476.  
Militsyn B. L., Bechtenev A. A. et al. Experimental plasma wake-field acceleration project. — Phys. Fluids B, 1993, v. 5, N 7, p. 2714 – 2718.
- [17] Силин В. П., Рухадзе А. А. Электромагнитные свойства плазмы и плазмоподобных сред. — М.: Госатомиздат, 1961, с. 116 – 133.
- [18] Камке Э. Справочник по обыкновенным дифференциальным уравнениям. — М.: Наука, 1971.
- [19] Корн Г., Корн Т. Справочник по математике для научных работников и инженеров. — М.: Наука, 1968.

## Содержание

1 Введение	3
2 Уравнения движения плазмы	7
3 [Потенциальное приближение	13
4 Квазипотенциальное приближение, аксиально-симметричные возмущения	17
5 Аксиально-несимметричные возмущения	21
6 Исследование конкретных профилей скорости	25
6.1 Гауссовский профиль скорости . . . . .	25
6.2 Профиль скорости с косинусом . . . . .	27
7 Влияние обнаруженной неустойчивости на кильватерное ускорение	31
8 Приложения	35
8.1 Приложение 1: Обобщение уравнения Рэлея на случай цилиндрической геометрии задачи . . . . .	35
8.1.1 Необходимое условие неустойчивости . . . . .	37
8.1.2 Неизбежность выполнения резонансного условия в случае нейтральных колебаний . . . . .	38
8.1.3 Совпадение резонансной точки нейтральных колебаний с точкой “перегиба” в случае монотонного профиля скорости . . . . .	38
8.1.4 Поведение дисперсионной кривой вблизи точки нейтральных колебаний в случае аксиально-симметричных возмущений . . . . .	39
8.2 Приложение 2: Об отсутствии неустойчивых колебаний при больших $k$ . . . . .	40
8.3 Приложение 3: Построение дисперсионной кривой $\omega(k)$ численным методом . . . . .	41
8.4 Приложение 4: Задача о расталкивании взаимопроникающих токов . . . . .	43

*K.B. Лотов, Д.Д. Рютов*

**Плазменные неустойчивости в схеме кильватерного ускорения**

Ответственный за выпуск С.Г. Попов

Работа поступила 24 марта 1994 г.

---

Сдано в набор 12 апреля 1994 г.

Подписано в печать 15 апреля 1994 г.

Формат бумаги 60×90 1/16 Объем 2.6 печ.л., 2.1 уч.-изд.л.

Тираж 200 экз. Бесплатно. Заказ № 32

---

Обработано на IBM PC и отпечатано на  
ротапринте ИЯФ им. Г.И. Будкера СО РАН,  
Новосибирск, 630090, пр. академика Лаврентьева, 11.